

Zulassungsstelle für Bauprodukte und Bauarten

Bautechnisches Prüfamts

Eine vom Bund und den Ländern
gemeinsam getragene Anstalt des öffentlichen Rechts



**Europäische
Technische Bewertung**

**ETA-98/0001
vom 2. Oktober 2019**

Allgemeiner Teil

Technische Bewertungsstelle, die die Europäische Technische Bewertung ausstellt

Deutsches Institut für Bautechnik

Handelsname des Bauprodukts

Hilti Metallspreizanker HST, HST-R, HST-HCR, HST3, HST3-R

Produktfamilie,
zu der das Bauprodukt gehört

Mechanischer Dübel zur Verankerung im Beton

Hersteller

Hilti Aktiengesellschaft
Business Unit Anchors
9494 Schaan
FÜRSTENTUM LIECHTENSTEIN

Herstellungsbetrieb

Hilti Werke

Diese Europäische Technische Bewertung enthält

62 Seiten, davon 3 Anhänge, die fester Bestandteil dieser Bewertung sind.

Diese Europäische Technische Bewertung wird ausgestellt gemäß der Verordnung (EU) Nr. 305/2011, auf der Grundlage von

EAD 330232-00-0601

Diese Fassung ersetzt

ETA-98/0001 vom 9. Februar 2018

Die Europäische Technische Bewertung wird von der Technischen Bewertungsstelle in ihrer Amtssprache ausgestellt. Übersetzungen dieser Europäischen Technischen Bewertung in andere Sprachen müssen dem Original vollständig entsprechen und müssen als solche gekennzeichnet sein.

Diese Europäische Technische Bewertung darf, auch bei elektronischer Übermittlung, nur vollständig und ungekürzt wiedergegeben werden. Nur mit schriftlicher Zustimmung der ausstellenden Technischen Bewertungsstelle kann eine teilweise Wiedergabe erfolgen. Jede teilweise Wiedergabe ist als solche zu kennzeichnen.

Die ausstellende Technische Bewertungsstelle kann diese Europäische Technische Bewertung widerrufen, insbesondere nach Unterrichtung durch die Kommission gemäß Artikel 25 Absatz 3 der Verordnung (EU) Nr. 305/2011.

Besonderer Teil

1 Technische Beschreibung des Produkts

Der Hilti Metallspreizanker HST, HST-R, HST-HCR, HST3 und HST3-R ist ein Dübel aus galvanisch verzinktem Stahl (HST, HST3), aus nichtrostendem Stahl (HST-R, HST3-R) oder hochkorrosionsbeständigem Stahl (HST-HCR) der in ein Bohrloch gesteckt und kraftkontrolliert verankert wird.

Die Produktbeschreibung ist in Anhang A angegeben.

2 Spezifizierung des Verwendungszwecks gemäß dem anwendbaren Europäischen Bewertungsdokument

Von den Leistungen in Abschnitt 3 kann nur ausgegangen werden, wenn der Dübel entsprechend den Angaben und Bedingungen nach Anhang B verwendet wird.

Die Prüf- und Bewertungsmethoden, die dieser Europäischen Technischen Bewertung zu Grunde liegen, führen zur Annahme einer Nutzungsdauer des Dübels von mindestens 50 Jahren. Die Angabe der Nutzungsdauer kann nicht als Garantie des Herstellers verstanden werden, sondern ist lediglich ein Hilfsmittel zur Auswahl des richtigen Produkts in Bezug auf die angenommene wirtschaftlich angemessene Nutzungsdauer des Bauwerks.

3 Leistung des Produkts und Angabe der Methoden ihrer Bewertung

3.1 Mechanische Festigkeit und Standsicherheit (BWR 1)

Wesentliches Merkmal	Leistung
Charakteristische Widerstände für statische und quasi-statische Lasten	Siehe Anhang C1 bis C12
Charakteristische Widerstände für die seismische Leistungskategorie C1, Verschiebungen	Siehe Anhang C13 bis C16
Charakteristische Widerstände für die seismische Leistungskategorie C2, Verschiebungen	Siehe Anhang C17 bis C21
Dauerhaftigkeit	Siehe Anhang B1

3.2 Brandschutz (BWR 2)

Wesentliches Merkmal	Leistung
Brandverhalten	Klasse A1
Feuerwiderstand	Siehe Anhang C22 bis C31

4 Angewandtes System zur Bewertung und Überprüfung der Leistungsbeständigkeit mit der Angabe der Rechtsgrundlage

Gemäß dem Europäischen Bewertungsdokument EAD 330232-00-0601 gilt folgende Rechtsgrundlage: [96/582/EG].

Folgendes System ist anzuwenden: 1

5 Für die Durchführung des Systems zur Bewertung und Überprüfung der Leistungsbeständigkeit erforderliche technische Einzelheiten gemäß anwendbarem Europäischen Bewertungsdokument

Technische Einzelheiten, die für die Durchführung des Systems zur Bewertung und Überprüfung der Leistungsbeständigkeit notwendig sind, sind Bestandteil des Kontrollplans, der beim Deutschen Institut für Bautechnik hinterlegt ist.

Ausgestellt in Berlin am 2. Oktober 2019 vom Deutschen Institut für Bautechnik

Dr.-Ing. Lars Eckfeldt
i. V. Abteilungsleiter

Beglaubigt

Einbauzustand

Bild A1:

Hilti Metallspreizanker HST, HST-R und HST-HCR

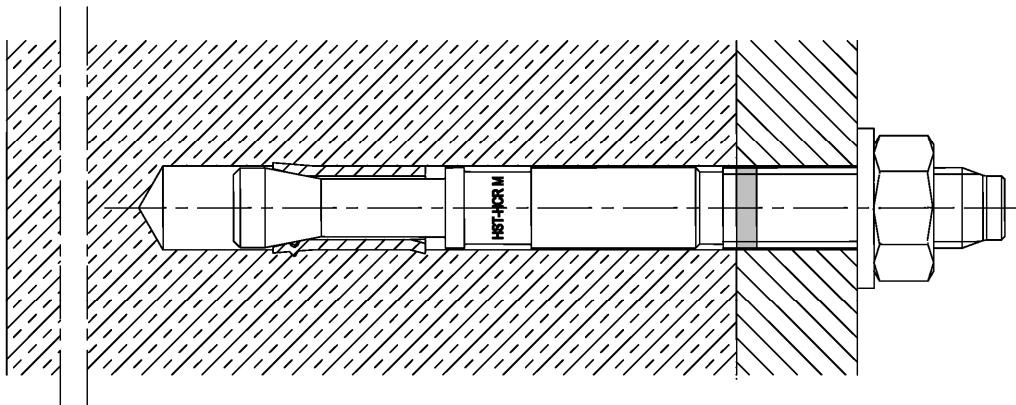
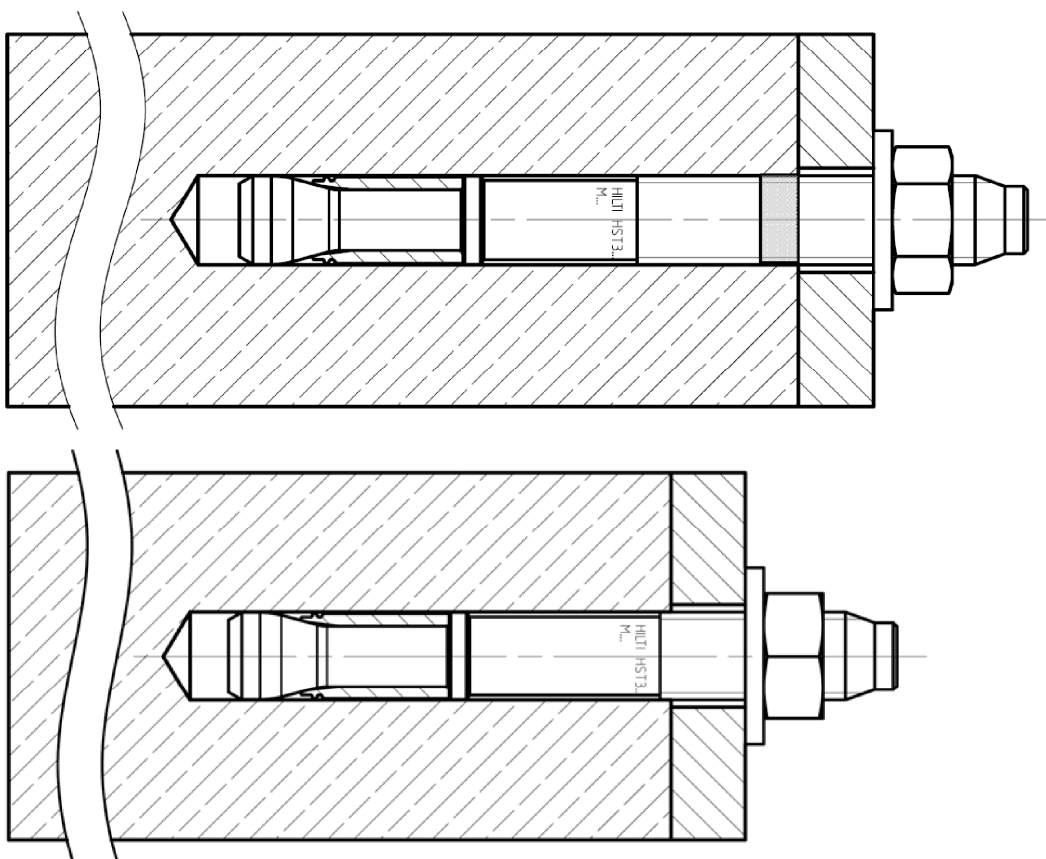


Bild A2:

Hilti Metallspreizanker HST3 und HST3-R mit Standardeinbindetiefe und verkürzter Einbindetiefe



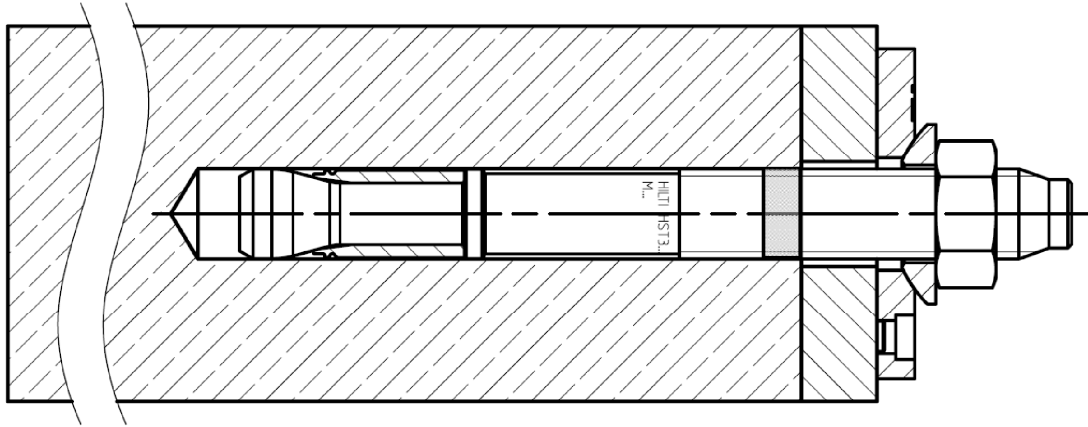
Hilti Metallspreizanker HST, HST-R, HST-HCR, HST3, HST3-R

Produktbeschreibung
Einbauzustand

Anhang A1

Bild A3:

Hilti Metallspreizanker HST3 und HST3-R mit Verfüll-Set



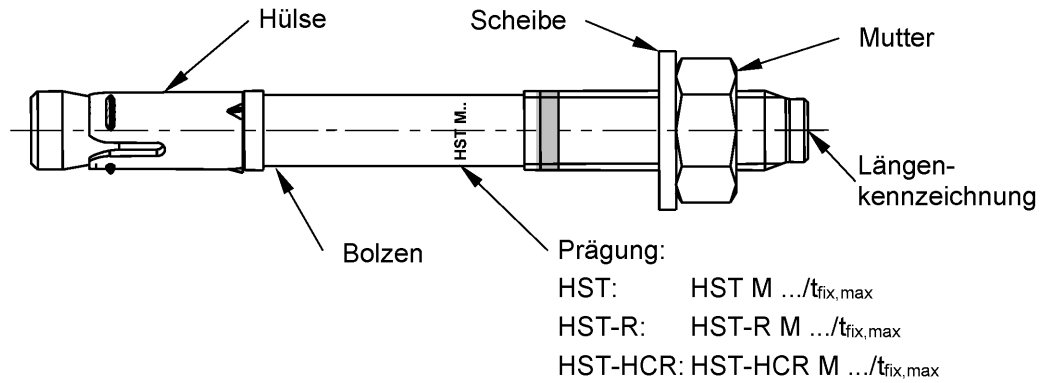
Hilti Metallspreizanker HST, HST-R, HST-HCR, HST3, HST3-R

Produktbeschreibung
Einbauzustand

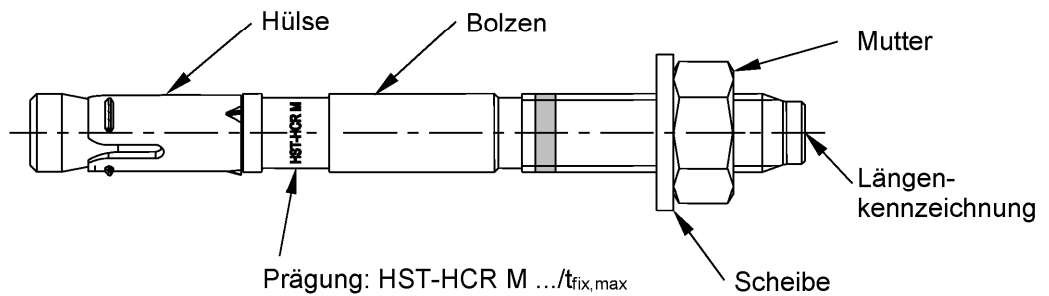
Anhang A2

Produktbeschreibung: Hilti Metallspreizanker HST, HST-R und HST-HCR

Kaltumgeformt hergestellte Variante



Zerspant hergestellte Variante



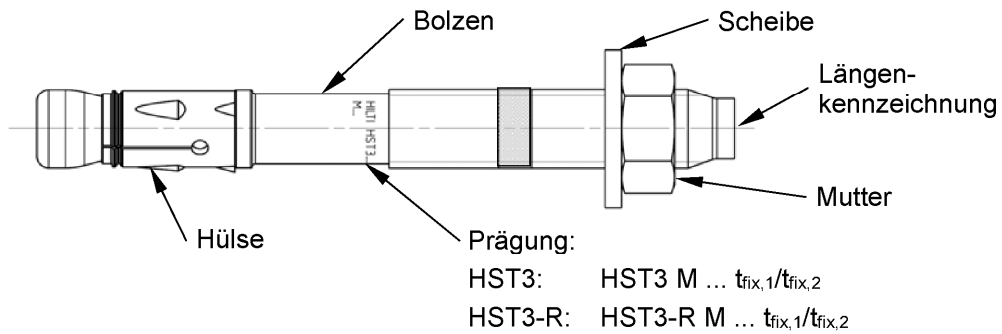
Hilti Metallspreizanker HST, HST-R, HST-HCR, HST3, HST3-R

Produktbeschreibung
Varianten, Prägung und Kennzeichnung

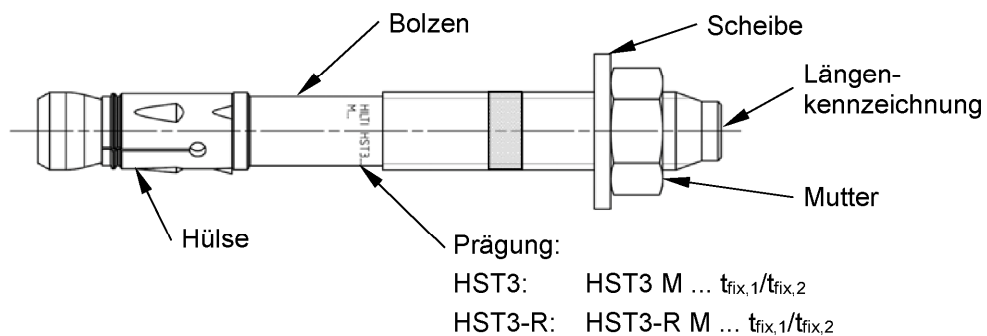
Anhang A3

Produktbeschreibung: Hilti Metallspreizanker HST3 und HST3-R

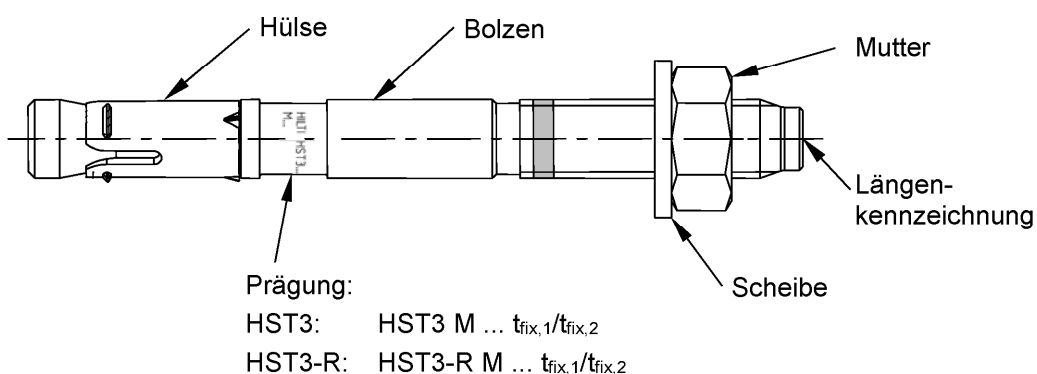
Kaltumgeformt hergestellte Variante



Zerspant hergestellte Variante M8 – M16



Zerspant hergestellte Variante M20 - M24



Hilti Metallspreizanker HST, HST-R, HST-HCR, HST3, HST3-R

Produktbeschreibung
Varianten, Prägung und Kennzeichnung

Anhang A4

Tabelle A1: Längenkennzeichnung HST, HST3, HST-R, HST3-R, HST-HCR

Buchstabe		A	B	C	D	E	f	II
Ankerlänge	≥ [mm]	38,1	50,8	63,5	76,2	88,9	100,0	100,0
	< [mm]	50,8	63,5	76,2	88,9	101,6	100,0	100,0

Buchstabe		F	G	Δ	H	I	J	K
Ankerlänge	≥ [mm]	101,6	114,3	125,0	127,0	139,7	152,4	165,1
	< [mm]	114,3	127,0	125,0	139,7	152,4	165,1	177,8

Buchstabe		L	M	N	O	P	Q	R
Ankerlänge	≥ [mm]	177,8	190,5	203,2	215,9	228,6	241,3	254,0
	< [mm]	190,5	203,2	215,9	228,6	241,3	254,0	279,4

Buchstabe		r	S	T	U	V	W	X
Ankerlänge	≥ [mm]	260,0	279,4	304,8	330,2	355,6	381,0	406,4
	< [mm]	260,0	304,8	330,2	355,6	381,0	406,4	431,8

Buchstabe		Y	Z	AA	BB	CC	DD	EE
Ankerlänge	≥ [mm]	431,8	457,2	482,6	508,0	533,4	558,8	584,2
	< [mm]	457,2	482,6	508,0	533,4	558,8	584,2	609,6

Buchstabe		FF	GG	HH	II	JJ	KK	LL
Ankerlänge	≥ [mm]	609,6	635,0	660,4	685,8	711,2	736,6	762,0
	< [mm]	635,0	660,4	685,8	711,2	736,6	762,0	787,4

Buchstabe		MM	NN	OO	PP	QQ	RR	SS
Ankerlänge	≥ [mm]	787,4	812,8	838,2	863,6	889,0	914,4	939,8
	< [mm]	812,8	838,2	863,6	889,0	914,4	939,8	965,2

Buchstabe		TT	UU	VV
Ankerlänge	≥ [mm]	965,2	990,6	1016,0
	< [mm]	990,6	1016,0	1041,4

Hilti Metallspreizanker HST, HST-R, HST-HCR, HST3, HST3-R

Produktbeschreibung
Varianten, Prägung und Kennzeichnung

Anhang A5

Tabelle A2: Werkstoffe

Bezeichnung	Werkstoff
HST	
Spreizhülse	Nichtrostender Stahl A4
Bolzen	C-Stahl, galvanisch verzinkt, beschichtet (transparent), Bruchdehnung ($l_0 = 5d$) > 8 %
Scheibe	C-Stahl, galvanisch verzinkt
Sechskantmutter	C-Stahl, galvanisch verzinkt
HST-R (nichtrostender Stahl)	
Spreizhülse	Nichtrostender Stahl A4
Bolzen	Nichtrostender Stahl A4, Konus beschichtet (rot oder transparent), Bruchdehnung ($l_0 = 5d$) > 8 %
Scheibe	Nichtrostender Stahl A4
Sechskantmutter	Nichtrostender Stahl A4, beschichtet
HST-HCR (hochkorrosionsbeständiger Stahl)	
Spreizhülse	Nichtrostender Stahl A4
Bolzen	Hochkorrosionsbeständiger Stahl, Konus beschichtet (rot), Bruchdehnung ($l_0 = 5d$) > 8 %
Scheibe	Hochkorrosionsbeständiger Stahl
Sechskantmutter	Hochkorrosionsbeständiger Stahl, beschichtet

Hilti Metallspreizanker HST, HST-R, HST-HCR, HST3, HST3-R

Produktbeschreibung
Werkstoffe

Anhang A6

Tabelle A2 fortgesetzt

Bezeichnung	Werkstoff
HST3	
Sprezhülse	M10, M16: C-Stahl, galvanisch verzinkt oder nichtrostender Stahl M8, M12, M20, M24: nichtrostender Stahl
Bolzen	C-Stahl, galvanisch verzinkt, beschichtet (transparent), Bruchdehnung ($l_0 = 5d$) > 8 %
Scheibe	C-Stahl, galvanisch verzinkt
Sechskantmutter	C-Stahl, galvanisch verzinkt
Verfüll-Set	
Verschlussscheibe	C-Stahl, galvanisch verzinkt
Kugelscheibe	C-Stahl, galvanisch verzinkt
HST3-R (nichtrostender Stahl)	
Sprezhülse	Nichtrostender Stahl A4
Bolzen	Nichtrostender Stahl A4, Konus beschichtet (transparent), Bruchdehnung ($l_0 = 5d$) > 8 %
Scheibe	Nichtrostender Stahl A4
Sechskantmutter	Nichtrostender Stahl A4, beschichtet
Verfüll-Set (nichtrostender Stahl)	
Verschlussscheibe	Nichtrostender Stahl A4
Kugelscheibe	Nichtrostender Stahl A4

Hilti Metallspreizanker HST, HST-R, HST-HCR, HST3, HST3-R

Produktbeschreibung
Werkstoffe

Anhang A7

Injektionsmörtel Hilti HIT-HY 200-A

Hybridsystem mit Harz, Härter, Zement und Wasser Komponente
Foliengebinde 330 ml und 500 ml

Kennzeichnung:
HILTI HIT
Chargennummer und
Produktionslinie
Verfallsdatum mm/jjjj



Produktname: "Hilti HIT-HY 200-A"

Statikmischer Hilti HIT-RE-M



Auspressgeräte



Hilti HDM 330



Hilti HDE 500

Tabelle A3: Aushärtezeit Hilti HIT-HY 200-A

Untergrund- / Umgebungstemperatur	Aushärtezeit t_{cure} Hilti HIT-HY 200-A
-10 °C bis -5 °C	7 Stunden
-4 °C bis 0 °C	4 Stunden
1 °C bis 5 °C	2 Stunden
6 °C bis 10 °C	75 Minuten
11 °C bis 20 °C	45 Minuten
21 °C bis 30 °C	30 Minuten
31 °C bis 40 °C	30 Minuten

Hilti Metallspreizanker HST, HST-R, HST-HCR, HST3, HST3-R

Produktbeschreibung
Injektionsmörtel

Anhang A8

Tabelle A4: Abmessungen HST, HST-R und HST-HCR

HST, HST-R, HST-HCR		M8	M10	M12	M16	M20 ¹⁾	M24 ¹⁾
Maximale Ankerlänge	$l_{\max} \leq$ [mm]	260	280	295	350	450	500
Schaftdurchmesser am Konus	d_R [mm]	5,5	7,2	8,5	11,6	14,6	17,4
Sprezhülsenlänge	l_s [mm]	14,8	18,2	22,7	24,3	28,3	36,0

¹⁾ Nur HST und HST-R

HST, HST-R und HST-HCR

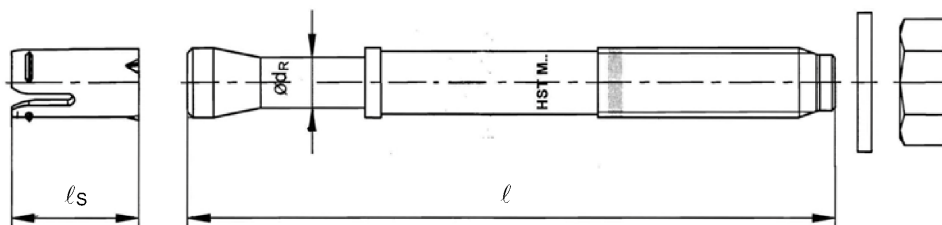
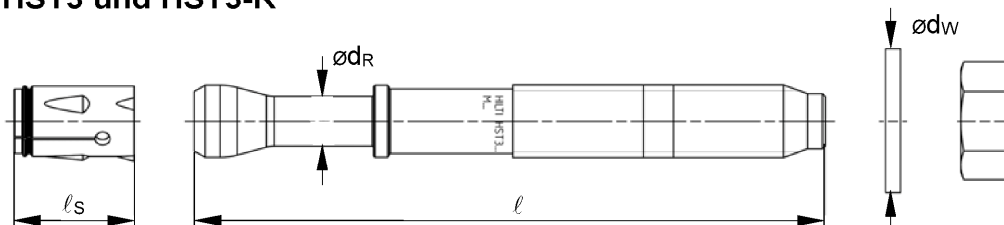


Tabelle A5: Abmessungen HST3 und HST3-R

HST3, HST3-R		M8	M10	M12	M16	M20	M24
Maximale Ankerlänge	$l_{\max} \leq$ [mm]	260	280	350	475	450	500
Schaftdurchmesser am Konus	d_R [mm]	5,60	6,94	8,22	11,00	14,62	17,4
Sprezhülsenlänge	l_s [mm]	13,6	16,0	20,0	25,0	28,3	36,0
Scheibendurchmesser	$d_w \geq$ [mm]	15,57	19,48	23,48	29,48	36,38	43,38

HST3 und HST3-R



Hilti Metallspreizanker HST, HST-R, HST-HCR, HST3, HST3-R

Produktbeschreibung
Abmessungen

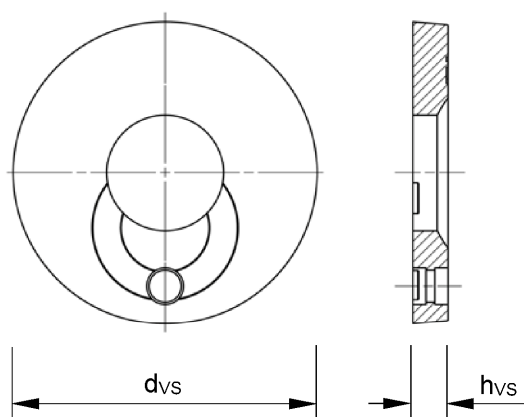
Anhang A9

Verfüll-Set zum Verfüllen des Ringspalts zwischen Anker und Anbauteil

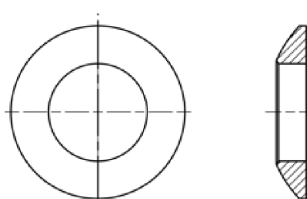
Tabelle A6: Abmessungen Verfüll-Set

Verfüll-Set für HST3, HST3-R			M8	M10	M12	M16	M20
Durchmesser Verschluss Scheibe	d _{vs}	[mm]	38	42	44	52	60
Verschluss Scheibenhöhe	h _{vs}	[mm]	5			6	

Verschluss Scheibe



Kugelscheibe



Hilti Metallspreizanker HST, HST-R, HST-HCR, HST3, HST3-R

Produktbeschreibung
Abmessungen

Anhang A10

Angaben zum Verwendungszweck

Verankerungsgrund:

- Bewehrter oder unbewehrter Normalbeton ohne Fasern nach EN 206-1:2013 + A1:2016.
- Festigkeitsklasse C20/25 bis C50/60 nach EN 206:2013 + A1:2016.
- Gerissener und ungerissener Beton.

Anwendungsbedingungen (Umweltbedingungen):

- Hilti Metallspreizanker HST und HST3 aus galvanisch verzinktem Stahl:
In Bauteilen unter den Bedingungen trockener Innenräume
- Hilti Metallspreizanker HST-R und HST3-R aus nichtrostendem Stahl A4:
Der Anker darf in Bauteilen unter den Bedingungen trockener Innenräume sowie auch im Freien (einschließlich Industrielatmosphäre und Meeresnähe) oder in Feuchträumen verwendet werden, wenn keine besonders aggressiven Bedingungen vorliegen. Zu diesen besonders aggressiven Bedingungen gehören z. B. ständiges abwechselndes Eintauchen in Seewasser oder der Bereich der Spritzzone von Seewasser, chorhaltige Atmosphäre in Schwimmhallen oder Atmosphäre mit extremer chemischer Verschmutzung (z. B. bei Rauchgas-Entschwefelungsanlagen oder Straßentunneln, in denen Enteisungsmittel verwendet werden).
- Hilti Metallspreizanker HST-HCR aus hochkorrosionsbeständigem Stahl:
Der Anker darf in Bauteilen unter den Bedingungen trockener Innenräume sowie auch im Freien, in Feuchträumen oder in besonders aggressiven Bedingungen verwendet werden. Zu diesen besonders aggressiven Bedingungen gehören z. B. ständiges abwechselndes Eintauchen in Seewasser oder der Bereich der Spritzzone von Seewasser, chorhaltige Atmosphäre in Schwimmhallen oder Atmosphäre mit extremer chemischer Verschmutzung (z. B. bei Rauchgas-Entschwefelungsanlagen oder Straßentunneln, in denen Enteisungsmittel verwendet werden).

Bemessung:

- Die Befestigungen müssen unter der Verantwortung eines auf dem Gebiet der Verankerungen und des Betonbaus erfahrenen Ingenieurs bemessen werden.
- Unter Berücksichtigung der zu verankernden Lasten sind prüfbare Berechnungen und Konstruktionszeichnungen anzufertigen. Auf den Konstruktionszeichnungen ist die Lage des Dübels (z. B. Lage des Dübels zur Bewehrung oder zu den Auflagern usw.) anzugeben.
- Die Bemessung von Verankerungen erfolgt in Übereinstimmung mit:
EN 1992-4:2018 und EOTA Technical Report TR 055, 12/2016
- Bei Anforderungen an den Brandschutz ist sicherzustellen, dass lokale Betonabplatzungen vermieden werden.

Hilti Metallspreizanker HST, HST-R, HST-HCR, HST3, HST3-R

Angaben zum Verwendungszweck

Anhang B1

- **Einbau:**
- Der Einbau erfolgt durch entsprechend geschultes Personal unter der Aufsicht des Bauleiters.
- Der Dübel darf nur einmal verwendet werden.
- Überkopfmontage ist zulässig.

Tabelle B1: Bohrlocherstellung HST, HST-R und HST-HCR

HST, HST-R und HST-HCR	M8	M10	M12	M16	M20 ¹⁾	M24 ¹⁾
Hammerbohren (HD) 	✓	✓	✓	✓	✓	✓

¹⁾ Nur HST und HST-R

Tabelle B2: Bohrlocherstellung HST3 und HST3-R

HST3 und HST3-R	M8	M10	M12	M16	M20	M24
Hammerbohren (HD) 	✓	✓	✓	✓	✓	✓
Diamantbohrverfahren (DD) mit <ul style="list-style-type: none"> • DD EC-1 Diamantbohrgerät und DD-C ... TS/TL Bohrkronen oder DD-C ... T2/T4 Bohrkronen  • DD 30-W Diamantbohrgerät und C+ ... SPX-T (abrasiv) Bohrkronen 	✓	✓	✓	✓	✓	✓
Hammerbohren mit Hohlbohrer (HDB) mit TE-CD/YD ... Hohlbohrern 	-	-	✓	✓	✓	✓

Tabelle B3: Bohrloch Reinigung

Handreinigung (MC): Zum Ausblasen von Bohrlöchern wird die Hilti-Handausblaspumpe empfohlen.	
Druckluft Reinigung (CAC): Zum Ausblasen mit Druckluft wird die Verwendung einer Ausblasdüse mit einem Durchmesser von mindestens 3,5 mm empfohlen.	
Automatische Bohrlochreinigung (AC): Die Reinigung wird während des Bohrens mit dem Hilti-Hohlbohrer TE-CD und TE-YD Bohrsystem inklusive Staubsauger durchgeführt.	

Hilti Metallspreizanker HST, HST-R, HST-HCR, HST3, HST3-R

Angaben zum Verwendungszweck

Anhang B2

Tabelle B4: Anziehen des Metallspreizankers HST, HST-R und HST-HCR

HST, HST-R und HST-HCR	M8	M10	M12	M16	M20 ¹⁾	M24 ¹⁾
Drehmomentschlüssel 	✓	✓	✓	✓	✓	✓

¹⁾ Nur HST und HST-R

Tabelle B5: Anziehen des Metallspreizankers HST3 und HST3-R

HST3 und HST3-R	M8	M10	M12	M16	M20	M24
Drehmomentschlüssel 	✓	✓	✓	✓	✓	✓
Maschinensetzen mit Hilti SIW 6AT-A22 Schlagschrauber und SI-AT-A22 Anzugsmodul 	✓	✓	✓	-	-	-

Tabelle B6: Übersicht der Leistungskategorien HST, HST-R und HST-HCR

Beanspruchung:	HST, HST-R, HST-HCR
Statische und quasistatische Belastungen	M8 bis M24 (HST und HST-R) M8 bis M16 (HST-HCR) Tabelle : C1, C3, C5
Seismische Leistungskategorie C1/C2	M10 bis M16 (HST und HST-R) Tabelle : C7, C9, C11, C12, C15, C16
Statische und quasistatische Belastungen unter Brandbeanspruchung	M8 bis M24 Tabelle : C19, C21

Tabelle B7: Übersicht der Leistungskategorien HST3 und HST3-R

Beanspruchung:	HST3, HST3-R
Statische und quasistatische Belastungen	M10 bis M16 (für $h_{ef,1}$) M8 bis M24 (für $h_{ef,2}$) Tabelle : C2, C4, C6
Seismische Leistungskategorie C1/C2	M8 bis M20 (für $h_{ef,2}$) M12 (für $h_{ef,1}$) Tabelle : C8, C10, C13, C14, C17, C18
Statische und quasistatische Belastungen unter Brandbeanspruchung	M10 bis M16 (für $h_{ef,1}$) M8 bis M24 (für $h_{ef,2}$) Tabelle : C20, C22

Hilti Metallspreizanker HST, HST-R, HST-HCR, HST3, HST3-R

Angaben zum Verwendungszweck

Anhang B3

Tabelle B8: Montagekennwerte für HST, HST-R und HST-HCR

HST, HST-R, HST-HCR			M8	M10	M12	M16	M20 ¹⁾	M24 ¹⁾
Bohrerinnendurchmesser	d_0	[mm]	8	10	12	16	20	24
Bohrschneidendurchmesser	$d_{cut} \leq$	[mm]	8,45	10,45	12,50	16,50	20,55	24,55
Bohrlochtiefe	$h_1 \geq$	[mm]	65	80	95	115	140	170
Effektive Verankerungstiefe	h_{ef}	[mm]	47	60	70	82	101	125
Nominelle Verankerungstiefe	h_{nom}	[mm]	55	69	80	95	117	143
Maximales Durchgangsloch im Anbauteil ²⁾	d_f	[mm]	9	12	14	18	22	26
Installationsdrehmoment	T_{inst}	[Nm]	20	45	60	110	240	300
Maximale Anbauteilhöhe	$t_{fix,max} \leq$	[mm]	195	200	200	235	305	330
Schlüsselweite	SW	[mm]	13	17	19	24	30	36

¹⁾ Nur HST und HST-R

²⁾ Für größere Durchgangslöcher im anzuschließenden Bauteil siehe ETAG 001 Anhang C Kapitel 4.2.2.1

Hilti Metallspreizanker HST, HST-R, HST-HCR, HST3, HST3-R

Angaben zum Verwendungszweck
Montagekennwerte

Anhang B4

Tabelle B9: Montagekennwerte für HST3 und HST3-R

HST3, HST3-R			M8	M10	M12	M16	M20	M24
Bohrerinnendurchmesser	d_0	[mm]	8	10	12	16	20	24
Bohrschneidendurchmesser	$d_{cut} \leq$	[mm]	8,45	10,45	12,50	16,50	20,55	24,55
Bohrlochtiefe ¹⁾	$h_{1,1} \geq$	[mm]	-	53	68	86	-	-
Effektive Verankerungstiefe	$h_{ef,1}$	[mm]	-	40	50	65	-	-
Nominelle Verankerungstiefe	$h_{nom,1}$	[mm]	-	48	60	78	-	-
Bohrlochtiefe ¹⁾	$h_{1,2} \geq$	[mm]	59	73	88	106	124	151
Effektive Verankerungstiefe	$h_{ef,2}$	[mm]	47	60	70	85	101	125
Nominelle Verankerungstiefe	$h_{nom,2}$	[mm]	54	68	80	98	116	143
Maximales Durchgangsloch im Anbauteil ²⁾	d_f	[mm]	9	12	14	18	22	26
Installationsdrehmoment	T_{inst}	[Nm]	20	45	60	110	180	300
Maximale Anbauteilhöhe	$t_{fix,max}$	[mm]	195	220	270	370	310	330
Schlüsselweite	SW	[mm]	13	17	19	24	30	36

¹⁾ Bei Verwendung des Diamantbohrverfahrens + 5 mm für M8 bis M10 und + 2 mm für M12 bis M24

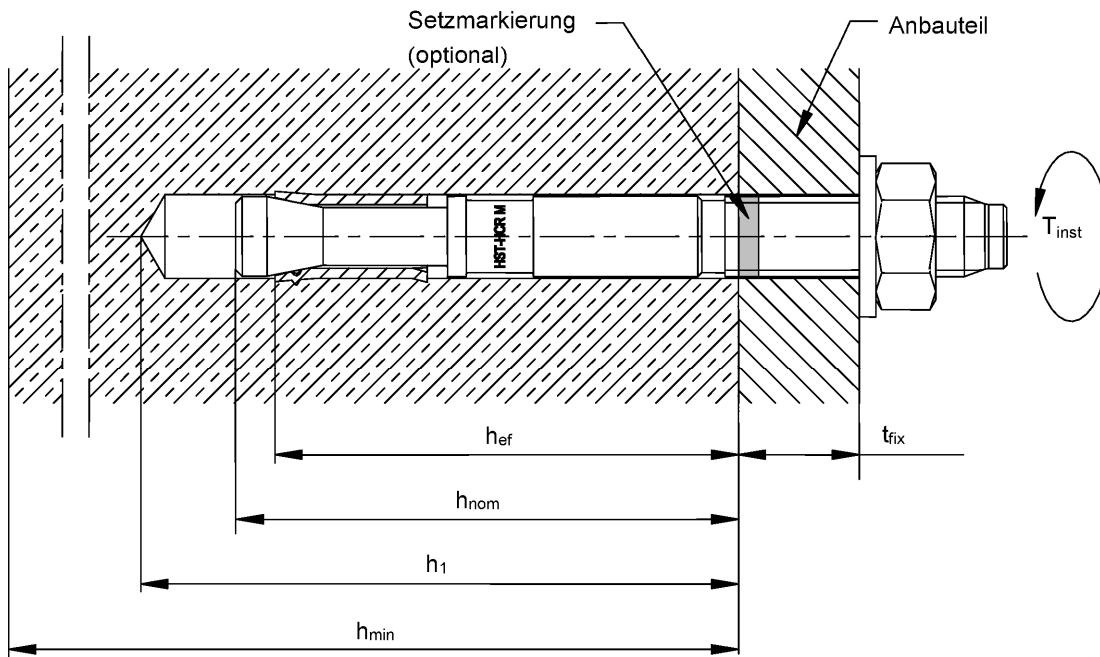
²⁾ Für größere Durchgangslöcher im anzuschließenden Bauteil siehe ETAG 001 Anhang C Kapitel 4.2.2.1

Hilti Metallspreizanker HST, HST-R, HST-HCR, HST3, HST3-R

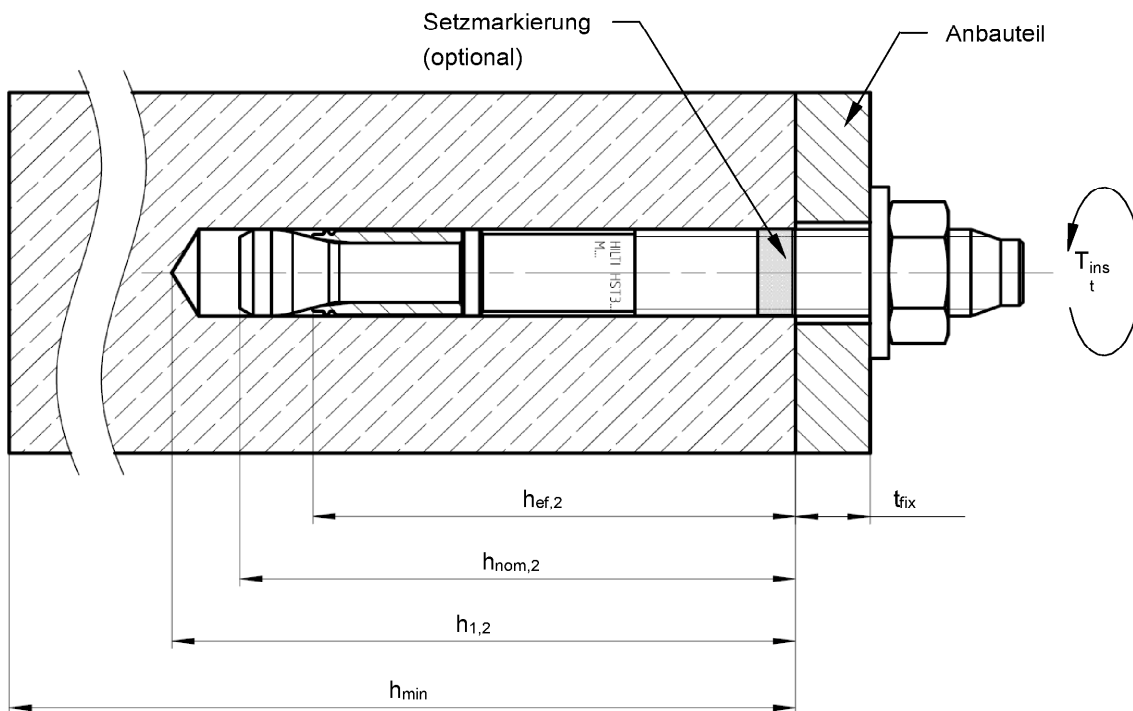
Angaben zum Verwendungszweck
Montagekennwerte

Anhang B5

HST, HST-R und HST-HCR



HST3 und HST3-R (Standardeinbindetiefe)



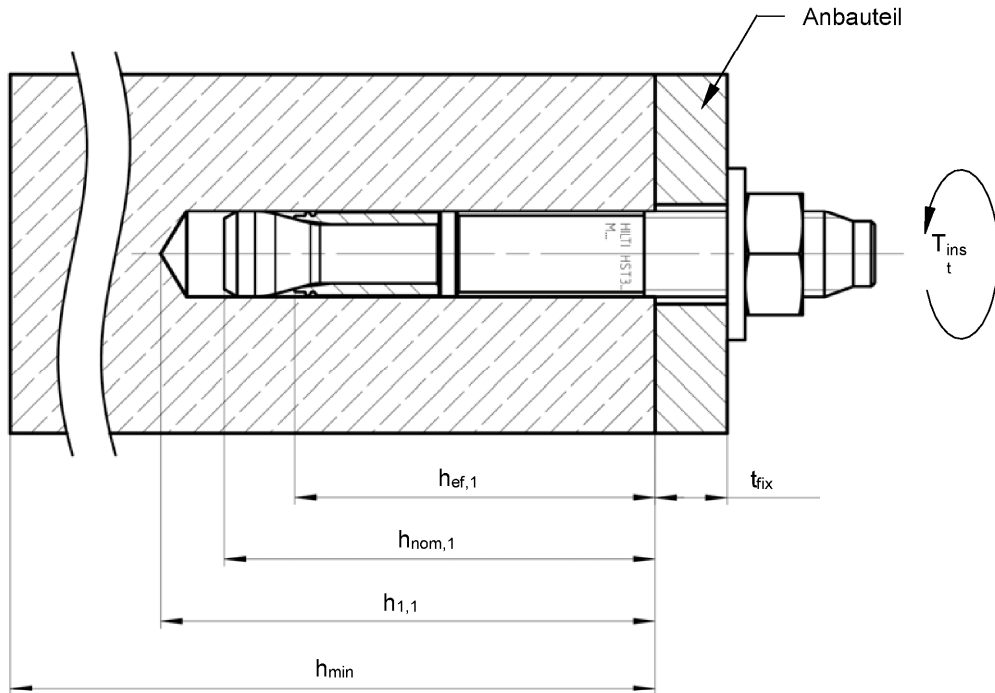
Elektronische Kopie der ETA des DIBt: ETA-98/0001

Hilti Metallspreizanker HST, HST-R, HST-HCR, HST3, HST3-R

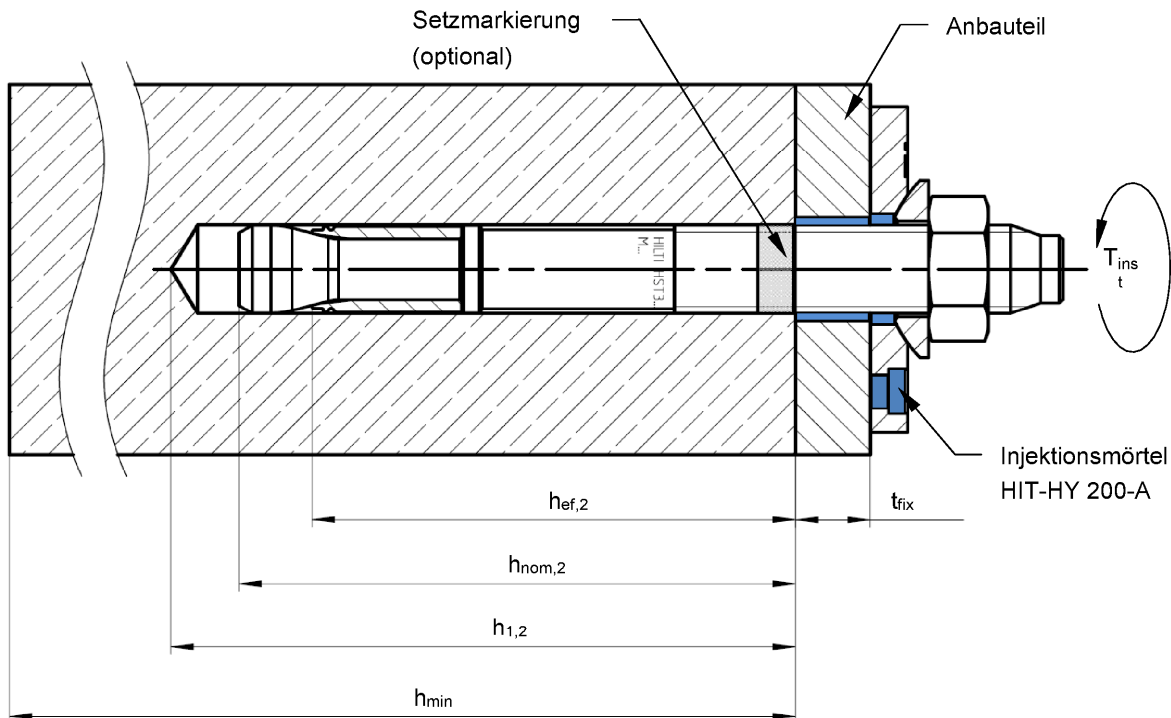
Angaben zum Verwendungszweck
Montagekennwerte

Anhang B6

HST3 und HST3-R (verkürzte Einbindetiefe)



HST3 und HST3-R mit Verfüll-Set zum Verfüllen des Ringspalts zwischen Anker und Anbauteil



Hilti Metallspreizanker HST, HST-R, HST-HCR, HST3, HST3-R

Angaben zum Verwendungszweck
Montagekennwerte

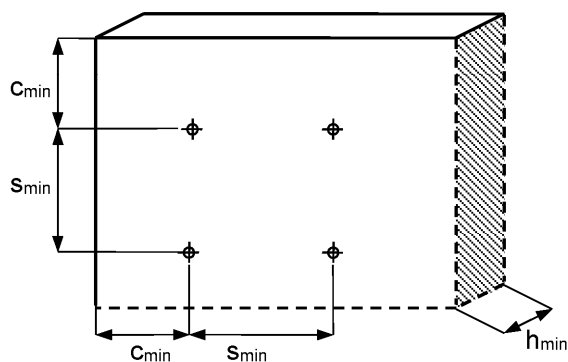
Anhang B7

Tabelle B10: Minimale Achs- und Randabstände für HST, HST-R und HST-HCR

		M8	M10	M12	M16	M20 ¹⁾	M24 ¹⁾
Mindestbauteildicke	h_{min} [mm]	100	120	140	160	200	250
Effektive Verankerungstiefe	h_{ef} [mm]	47	60	70	82	101	125
Gerissener Beton							
HST							
Mindestachsabstand ²⁾	s_{min} [mm]	40	55	60	70	100	125
	für $c \geq$ [mm]	50	70	75	100	160	180
Mindestrandabstand ²⁾	c_{min} [mm]	45	55	55	70	100	125
	für $s \geq$ [mm]	50	90	120	150	225	240
HST-R							
Mindestachsabstand ²⁾	s_{min} [mm]	40	55	60	70	100	125
	für $c \geq$ [mm]	50	65	75	100	130	130
Mindestrandabstand ²⁾	c_{min} [mm]	45	50	55	60	100	125
	für $s \geq$ [mm]	50	90	110	160	160	140
HST-HCR							
Mindestachsabstand ²⁾	s_{min} [mm]	40	55	60	70	-	-
	für $c \geq$ [mm]	50	70	75	100	-	-
Mindestrandabstand ²⁾	c_{min} [mm]	45	50	55	60	-	-
	für $s \geq$ [mm]	50	90	110	160	-	-

¹⁾ Nur HST und HST-R

²⁾ Lineare Interpolation für s_{min} und c_{min} zulässig



Hilti Metallspreizanker HST, HST-R, HST-HCR, HST3, HST3-R

Angaben zum Verwendungszweck
Minimale Achs- und Randabstände

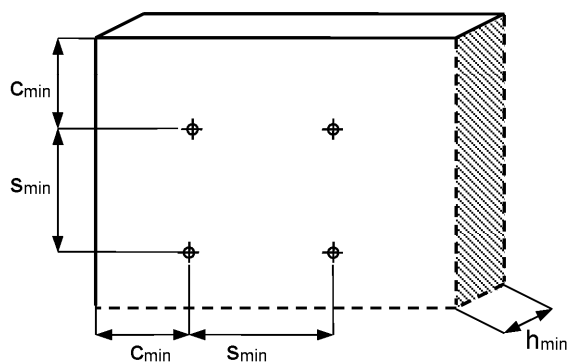
Anhang B8

Tabelle B10 fortgesetzt

		M8	M10	M12	M16	M20 ¹⁾	M24 ¹⁾
Mindestbauteildicke	h_{min} [mm]	100	120	140	160	200	250
Effektive Verankerungstiefe	h_{ef} [mm]	47	60	70	82	101	125
Ungerissener Beton							
HST							
Mindestachsabstand ²⁾	s_{min} [mm]	60	55	60	70	100	125
	für $c \geq$ [mm]	50	80	85	110	225	255
Mindestrandabstand ²⁾	c_{min} [mm]	50	55	55	85	140	170
	für $s \geq$ [mm]	60	115	145	150	270	295
HST-R							
Mindestachsabstand ²⁾	s_{min} [mm]	60	55	60	70	100	125
	für $c \geq$ [mm]	60	70	80	110	195	205
Mindestrandabstand ²⁾	c_{min} [mm]	60	50	55	70	140	150
	für $s \geq$ [mm]	60	115	145	160	210	235
HST-HCR							
Mindestachsabstand ²⁾	s_{min} [mm]	60	55	60	70	-	-
	für $c \geq$ [mm]	50	70	80	110	-	-
Mindestrandabstand ²⁾	c_{min} [mm]	60	55	55	70	-	-
	für $s \geq$ [mm]	60	115	145	160	-	-

¹⁾ Nur HST und HST-R

²⁾ Lineare Interpolation für s_{min} und c_{min} zulässig



Hilti Metallspreizanker HST, HST-R, HST-HCR, HST3, HST3-R

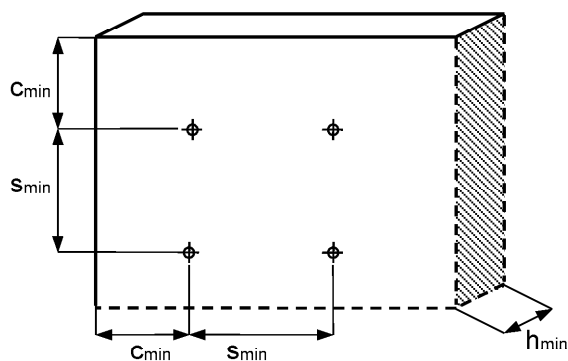
Angaben zum Verwendungszweck
Minimale Achs- und Randabstände

Anhang B9

Tabelle B11: Minimale Achs- und Randabstände für HST3 und HST3-R

		M8	M10	M12	M16	M20	M24
Mindestbauteildicke	h_{min} [mm]	100	120	140	160	200	250
Effektive Verankerungstiefe	$h_{ef,2}$ [mm]	47	60	70	85	101	125
Gerissener Beton							
HST3							
Mindestachsabstand ¹⁾	s_{min} [mm]	35	40	50	65	90	125
	für $c \geq$ [mm]	50	55	70	95	130	180
Mindestrandabstand ¹⁾	c_{min} [mm]	40	45	55	65	80	125
	für $s \geq$ [mm]	50	80	110	150	180	240
HST3-R							
Mindestachsabstand ¹⁾	s_{min} [mm]	35	40	50	65	90	125
	für $c \geq$ [mm]	50	55	70	95	130	130
Mindestrandabstand ¹⁾	c_{min} [mm]	40	45	55	65	80	125
	für $s \geq$ [mm]	50	80	110	150	180	140

¹⁾ Lineare Interpolation für s_{min} und c_{min} zulässig



Hilti Metallspreizanker HST, HST-R, HST-HCR, HST3, HST3-R

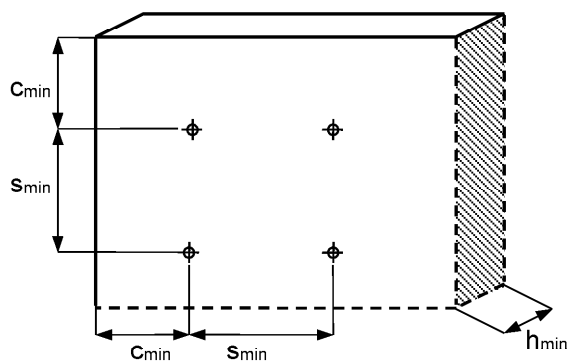
Angaben zum Verwendungszweck
Minimale Achs- und Randabstände

Anhang B10

Tabelle B11 fortgesetzt

		M8	M10	M12	M16	M20	M24
Mindestbauteildicke	h_{min} [mm]	100	120	140	160	200	250
Effektive Verankerungstiefe	$h_{ef,2}$ [mm]	47	60	70	85	101	125
Ungerissener Beton							
HST3							
Mindestachsabstand ¹⁾	s_{min} [mm]	35	40	60	65	90	125
	für $c \geq$ [mm]	50	60	70	95	130	255
Mindestrandabstand ¹⁾	c_{min} [mm]	40	50	55	65	80	170
	für $s \geq$ [mm]	50	90	110	150	180	295
HST3-R							
Mindestachsabstand ¹⁾	s_{min} [mm]	35	40	60	65	90	125
	für $c \geq$ [mm]	50	60	70	95	130	205
Mindestrandabstand ¹⁾	c_{min} [mm]	40	50	55	65	80	150
	für $s \geq$ [mm]	50	90	110	150	180	235

¹⁾ Lineare Interpolation für s_{min} und c_{min} zulässig



Hilti Metallspreizanker HST, HST-R, HST-HCR, HST3, HST3-R

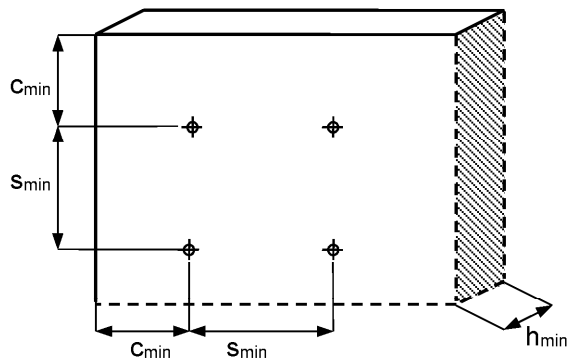
Angaben zum Verwendungszweck
Minimale Achs- und Randabstände

Anhang B11

Tabelle B11 fortgesetzt

		M8	M10	M12	M16	M20	M24
Mindestbauteildicke	h_{min} [mm]	80	100	120	140	160	-
Effektive Verankerungstiefe	$h_{ef,2}$ [mm]	47	60	70	85	101	-
Gerissener Beton							
HST3 und HST3-R							
Mindestachsabstand ¹⁾	s_{min} [mm]	35	40	50	80	120	-
	für $c \geq$ [mm]	50	100	90	130	180	-
Mindestrandabstand ¹⁾	c_{min} [mm]	40	60	60	65	120	-
	für $s \geq$ [mm]	50	90	120	180	180	-
Ungerissener Beton							
HST3 und HST3-R							
Mindestachsabstand ¹⁾	s_{min} [mm]	35	40	50	80	120	-
	für $c \geq$ [mm]	55	100	100	130	180	-
Mindestrandabstand ¹⁾	c_{min} [mm]	40	60	60	65	120	-
	für $s \geq$ [mm]	60	90	120	180	180	-

¹⁾ Lineare Interpolation für s_{min} und c_{min} zulässig



Hilti Metallspreizanker HST, HST-R, HST-HCR, HST3, HST3-R

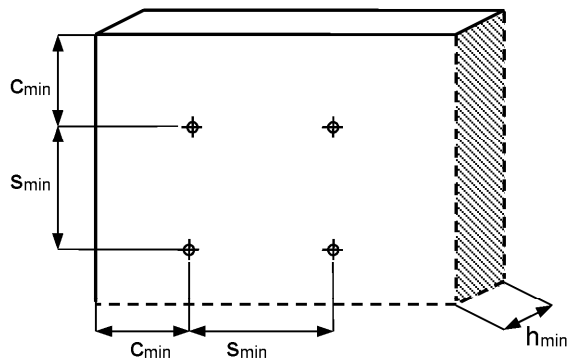
Angaben zum Verwendungszweck
Minimale Achs- und Randabstände

Anhang B12

Tabelle B11 fortgesetzt

		M8	M10	M12	M16	M20	M24
Mindestbauteildicke	h_{min} [mm]	-	80	100	120	-	-
Effektive Verankerungstiefe	$h_{ef,1}$ [mm]	-	40	50	65	-	-
Gerissener Beton							
HST3 und HST3-R							
Mindestachsabstand ¹⁾	s_{min} [mm]	-	40	50	65	-	-
	für $c \geq$ [mm]	-	90	105	130	-	-
Mindestrandabstand ¹⁾	c_{min} [mm]	-	45	55	65	-	-
	für $s \geq$ [mm]	-	180	210	240	-	-
Ungerissener Beton							
HST3 und HST3-R							
Mindestachsabstand ¹⁾	s_{min} [mm]	-	50	55	75	-	-
	für $c \geq$ [mm]	-	95	110	140	-	-
Mindestrandabstand ¹⁾	c_{min} [mm]	-	50	60	65	-	-
	für $s \geq$ [mm]	-	190	215	240	-	-

¹⁾ Lineare Interpolation für s_{min} und c_{min} zulässig



Hilti Metallspreizanker HST, HST-R, HST-HCR, HST3, HST3-R

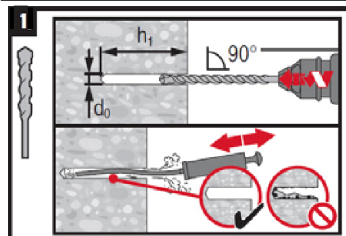
Angaben zum Verwendungszweck
Minimale Achs- und Randabstände

Anhang B13

Montageanweisung HST, HST-R und HST-HCR

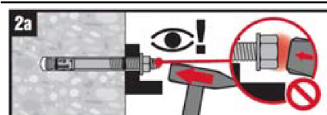
Bohrlocherstellung und Bohrlochreinigung

- a) Hammerbohren (HD):
M8 bis M24

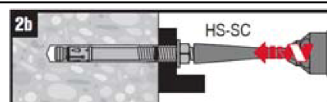


Setzen des Metallspreizankers

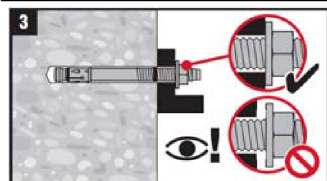
- a) Hammersetzen:
M8 bis M24



- b) Maschinensetzen (Setzwerkzeug):
M8 bis M24

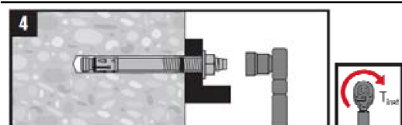


Kontrolle der Setzung



Anziehen des Metallspreizankers

- a) Drehmomentschlüssel:
M8 bis M24



Hilti Metallspreizanker HST, HST-R, HST-HCR, HST3, HST3-R

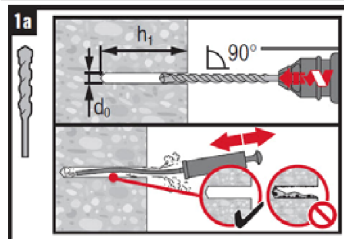
Angaben zum Verwendungszweck
Montageanweisung

Anhang B14

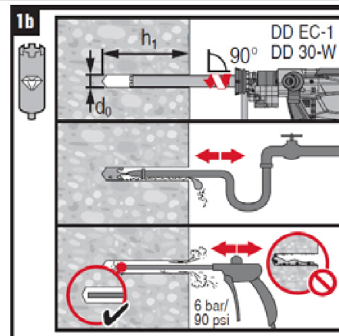
Montageanweisung HST3 und HST3-R

Bohrlocherstellung und Bohrlochreinigung

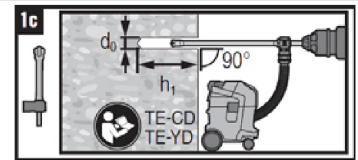
a) Hammerbohren (HD):
M8 bis M24



b) Diamantbohrverfahren (DD):
M8 bis M24

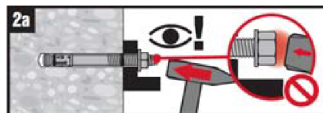


c) Hammerbohren mit Hilti
Hohlbohrern (HDB):
M12 bis M24

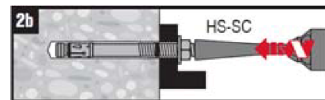


Setzen des Metallspreizankers

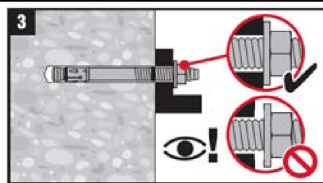
a) Hammer setzen:



b) Maschinensetzen (Setzwerkzeug):

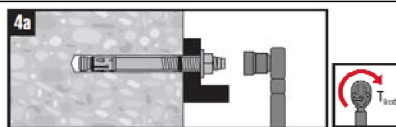


Kontrolle der Setzung

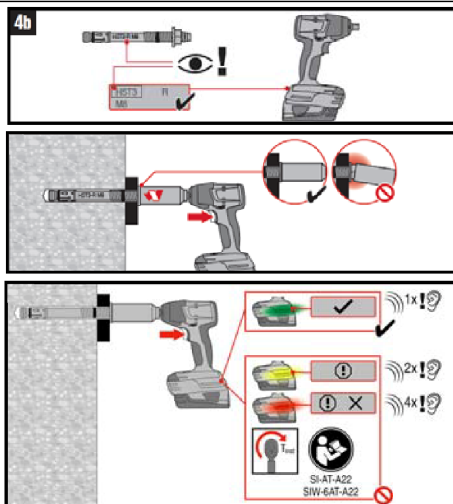


Anziehen des Metallspreizankers

a) Drehmomentschlüssel:
M8 bis M24



b) Maschinenanzug:
M8 bis M12



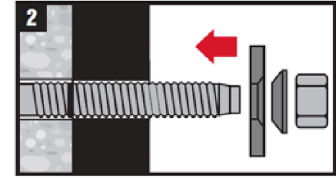
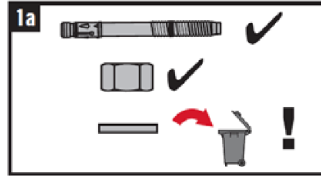
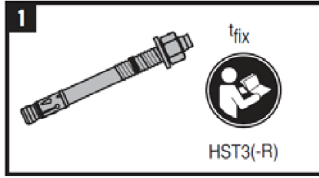
Hilti Metallspreizanker HST, HST-R, HST-HCR, HST3, HST3-R

Angaben zum Verwendungszweck
Montageanweisung

Anhang B15

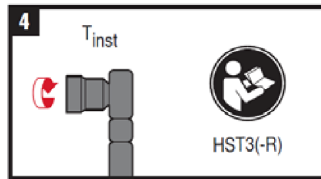
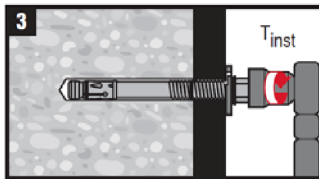
Montageanweisung HST3 und HST3-R mit Verfüll-Set

Montage Verfüll-Set

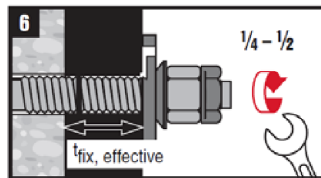
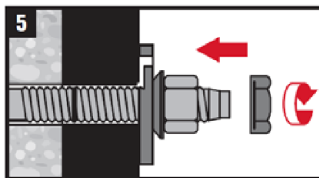


Anziehen des Metallpreisankers

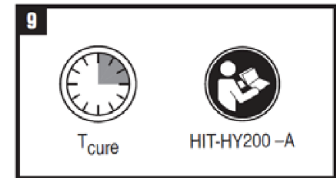
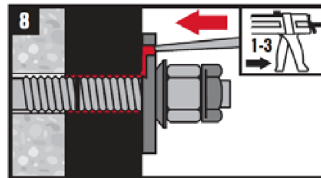
a) Drehmomentschlüssel:
M8 bis M20



Montage der Kontermutter



Mörtelinjektion



Hilti Metallpreisanker HST, HST-R, HST-HCR, HST3, HST3-R

Angaben zum Verwendungszweck
Montageanweisung

Anhang B16

Tabelle C1: Charakteristische Werte der Zugtragfähigkeit für Hilti Metallspreizanker HST, HST-R und HST-HCR im gerissenen und ungerissenen Beton

			M8	M10	M12	M16	M20 ¹⁾	M24 ¹⁾	
Stahlversagen									
HST									
Charakteristische Zugtragfähigkeit	$N_{Rk,s}$	[kN]	19,0	32,0	45,0	76,0	117,0	127,0	
Teilsicherheitsbeiwert	γ_{Ms} ²⁾	[-]	1,50					1,41	
HST-R									
Charakteristische Zugtragfähigkeit	$N_{Rk,s}$	[kN]	17,0	28,0	40,0	69,0	109,0	156,0	
Teilsicherheitsbeiwert	γ_{Ms} ²⁾	[-]	1,50			1,56	1,73		
HST-HCR									
Charakteristische Zugtragfähigkeit	$N_{Rk,s}$	[kN]	19,4	32,3	45,7	84,5	-	-	
Teilsicherheitsbeiwert	γ_{Ms} ²⁾	[-]	1,50				-	-	
Herausziehen									
HST									
Charakteristische Zugtragfähigkeit im gerissenen Beton C20/25	$N_{Rk,p}$	[kN]	5,0	9,0	12,0	20,0	30,0	40,0	
Charakteristische Zugtragfähigkeit im ungerissenen Beton C20/25	$N_{Rk,p}$	[kN]	9,0	16,0	20,0	35,0	50,0	60,0	
Montagesicherheitsbeiwert	γ_{inst}	[-]	1,20	1,00					
HST-R									
Charakteristische Zugtragfähigkeit im gerissenen Beton C20/25	$N_{Rk,p}$	[kN]	5,0	9,0	12,0	25,0	30,0	40,0	
Charakteristische Zugtragfähigkeit im ungerissenen Beton C20/25	$N_{Rk,p}$	[kN]	9,0	16,0	20,0	35,0	50,0	60,0	
Montagesicherheitsbeiwert	γ_{inst}	[-]	1,00						
HST-HCR									
Charakteristische Zugtragfähigkeit im gerissenen Beton C20/25	$N_{Rk,p}$	[kN]	5,0	9,0	12,0	25,0	-	-	
Charakteristische Zugtragfähigkeit im ungerissenen Beton C20/25	$N_{Rk,p}$	[kN]	9,0	16,0	20,0	35,0	-	-	
Montagesicherheitsbeiwert	γ_{inst}	[-]	1,00				-	-	

¹⁾ Nur HST und HST-R

²⁾ Sofern andere nationale Regelungen fehlen

Hilti Metallspreizanker HST, HST-R, HST-HCR, HST3, HST3-R

Leistungsfähigkeit

Charakteristische Werte der Zugtragfähigkeit im gerissenen und ungerissenen Beton

Anhang C1

Tabelle C1 fortgesetzt

			M8	M10	M12	M16	M20 ¹⁾	M24 ¹⁾
Herausziehen								
HST, HST-R und HST-HCR								
Erhöhungsfaktoren für gerissenen und ungerissenen Beton	ψ_c	C20/25	1,00					
	ψ_c	C30/37	1,22					
	ψ_c	C40/50	1,41					
	ψ_c	C50/60	1,55					
Betonausbruch und Spalten								
HST, HST-R und HST-HCR								
Effektive Verankerungstiefe	h_{ef}	[mm]	47	60	70	82	101	125
Montagesicherheitsbeiwert	γ_{inst}	[-]	1,20	1,00				
Faktor für gerissenen Beton	$k_1 = k_{cr,N}$	[-]	7,7					
Faktor für ungerissenen Beton	$k_1 = k_{ucr,N}$	[-]	11,0					
Achsabstand	$s_{cr,N}$ $s_{cr,sp}$	[mm]	3 h_{ef}					
Randabstand	$c_{cr,N}$ $c_{cr,sp}$	[mm]	1,5 h_{ef}					

¹⁾ Nur HST und HST-R

Hilti Metallpreisanker HST, HST-R, HST-HCR, HST3, HST3-R

Leistungsfähigkeit

Charakteristische Werte der Zugtragfähigkeit im gerissenen und ungerissenen Beton

Anhang C2

Tabelle C2: Charakteristische Werte der Zugtragfähigkeit für Hilti Metallspreizanker HST3 und HST3-R im gerissenen und ungerissenen Beton

			M8	M10	M12	M16	M20	M24
Stahlversagen								
HST3								
Charakteristische Zugtragfähigkeit	$N_{Rk,s}$	[kN]	19,7	32,5	45,1	76,0	124,2	127,0
Teilsicherheitsbeiwert	$\gamma_{Ms}^{1)}$	[-]	1,40					1,41
HST3-R								
Charakteristische Zugtragfähigkeit	$N_{Rk,s}$	[kN]	17,7	28,7	42,5	69,4	115,8	156,0
Teilsicherheitsbeiwert	$\gamma_{Ms}^{1)}$	[-]	1,40					1,56
Herausziehen								
HST3								
Effektive Verankerungstiefe	$h_{ef,2}$	[mm]	47	60	70	85	101	125
Charakteristische Zugtragfähigkeit im gerissenen Beton C20/25	$N_{Rk,p}$	[kN]	8,0	15,0	20,0	2)	2)	40,0
Charakteristische Zugtragfähigkeit im ungerissenen Beton C20/25	$N_{Rk,p}$	[kN]	12,0	22,0	25,0	2)	2)	60,0
Montagesicherheitsbeiwert	γ_{inst}	[-]	1,00					
HST3-R								
Effektive Verankerungstiefe	$h_{ef,2}$	[mm]	47	60	70	85	101	125
Charakteristische Zugtragfähigkeit im gerissenen Beton C20/25	$N_{Rk,p}$	[kN]	8,5	15,0	20,0	2)	2)	40,0
Charakteristische Zugtragfähigkeit im ungerissenen Beton C20/25	$N_{Rk,p}$	[kN]	12,0	22,0	25,0	2)	2)	60,0
Montagesicherheitsbeiwert	γ_{inst}	[-]	1,00					
HST3 und HST3-R								
Effektive Verankerungstiefe	$h_{ef,1}$	[mm]	-	40	50	65	-	-
Charakteristische Zugtragfähigkeit im gerissenen Beton C20/25	$N_{Rk,p}$	[kN]	-	2)	2)	2)	-	-
Charakteristische Zugtragfähigkeit im ungerissenen Beton C20/25	$N_{Rk,p}$	[kN]	-	2)	2)	2)	-	-
Montagesicherheitsbeiwert	γ_{inst}	[-]	1,00					

1) Sofern andere nationale Regelungen fehlen

2) Herausziehen nicht maßgebend

Hilti Metallspreizanker HST, HST-R, HST-HCR, HST3, HST3-R

Leistungsfähigkeit

Charakteristische Werte der Zugtragfähigkeit im gerissenen und ungerissenen Beton

Anhang C3

Tabelle C2 fortgesetzt

			M8	M10	M12	M16	M20	M24	
Herausziehen									
HST3 und HST3-R									
Erhöhungsfaktoren für gerissenen und ungerissenen Beton	ψ_c	C20/25	1,00						
	ψ_c	C30/37	1,22						
	ψ_c	C40/50	1,41						
	ψ_c	C50/60	1,55						
Betonausbruch und Spalten									
HST3 und HST3-R									
Effektive Verankerungstiefe	$h_{ef,2}$	[mm]	47	60	70	85	101	125	
Montagesicherheitsbeiwert	γ_{inst}	[-]	1,00						
Faktor für gerissenen Beton	$k_1 = k_{cr,N}$	[-]	7,7						
Faktor für ungerissenen Beton	$k_1 = k_{ucr,N}$	[-]	11,0						
Achsabstand	$s_{cr,N}$	[mm]	3 h_{ef}						
Randabstand	$c_{cr,N}$	[mm]	1,5 h_{ef}						
Achsabstand	$s_{cr,sp}$	[mm]	3 h_{ef}				3,8 h_{ef}	3 h_{ef}	
Randabstand	$c_{cr,sp}$	[mm]	1,5 h_{ef}				1,9 h_{ef}	1,5 h_{ef}	
HST3 und HST3-R									
Effektive Verankerungstiefe	$h_{ef,1}$	[mm]	-	40	50	65	-	-	
Montagesicherheitsbeiwert	γ_{inst}	[-]	1,00						
Faktor für gerissenen Beton	$k_1 = k_{cr,N}$	[-]	-	7,7			-	-	
Faktor für ungerissenen Beton	$k_1 = k_{ucr,N}$	[-]	-	11,0			-	-	
Achsabstand	$s_{cr,N}$	[mm]	-	3 h_{ef}			-	-	
Randabstand	$c_{cr,N}$	[mm]	-	1,5 h_{ef}			-	-	
Achsabstand	$s_{cr,sp}$	[mm]	-	4,2 h_{ef}	3,6 h_{ef}	3,2 h_{ef}	-	-	
Randabstand	$c_{cr,sp}$	[mm]	-	2,1 h_{ef}	1,8 h_{ef}	1,6 h_{ef}	-	-	

Hilti Metallpreisanker HST, HST-R, HST-HCR, HST3, HST3-R

Leistungsfähigkeit

Charakteristische Werte der Zugtragfähigkeit im gerissenen und ungerissenen Beton

Anhang C4

Tabelle C3: Charakteristische Werte der Quertragfähigkeit für Hilti Metallspreizanker HST, HST-R und HST-HCR im gerissenen und ungerissenen Beton

			M8	M10	M12	M16	M20 ¹⁾	M24 ¹⁾
Stahlversagen ohne Hebelarm								
HST								
Charakteristische Quertragfähigkeit	$V_{Rk,s}$	[kN]	14,0	23,5	35,0	55,0	84,0	94,0
Teilsicherheitsbeiwert	$\gamma_{Ms}^{2)}$	[-]	1,25					1,50
Duktilitätsfaktor	k_7	[-]	1,00					
HST-R								
Charakteristische Quertragfähigkeit	$V_{Rk,s}$	[kN]	13,0	20,0	30,0	50,0	80,0	115,0
Teilsicherheitsbeiwert	$\gamma_{Ms}^{2)}$	[-]	1,25			1,30	1,44	
Duktilitätsfaktor	k_7	[-]	1,00					
HST-HCR								
Charakteristische Quertragfähigkeit	$V_{Rk,s}$	[kN]	13,0	20,0	30,0	55,0	-	-
Teilsicherheitsbeiwert	$\gamma_{Ms}^{2)}$	[-]	1,25				-	-
Duktilitätsfaktor	k_7	[-]	1,00				-	-
Stahlversagen mit Hebelarm								
HST								
Charakteristisches Biegemoment	$M^0_{Rk,s}$	[Nm]	30	60	105	240	454	595
Teilsicherheitsbeiwert	$\gamma_{Ms}^{2)}$	[-]	1,25					1,50
HST-R								
Charakteristisches Biegemoment	$M^0_{Rk,s}$	[Nm]	27	53	92	216	422	730
Teilsicherheitsbeiwert	$\gamma_{Ms}^{2)}$	[-]	1,25			1,30	1,44	
HST-HCR								
Charakteristisches Biegemoment	$M^0_{Rk,s}$	[Nm]	30	60	105	266	-	-
Teilsicherheitsbeiwert	$\gamma_{Ms}^{2)}$	[-]	1,25				-	-

¹⁾ Nur HST und HST-R

²⁾ Sofern andere nationale Regelungen fehlen

Hilti Metallspreizanker HST, HST-R, HST-HCR, HST3, HST3-R

Leistungsfähigkeit

Charakteristische Werte der Quertragfähigkeit im gerissenen und ungerissenen Beton

Anhang C5

Tabelle C3 fortgesetzt

			M8	M10	M12	M16	M20 ¹⁾	M24 ¹⁾
Betonausbruch auf der lastabgewandten Seite								
HST, HST-R und HST-HCR								
Montagesicherheitsbeiwert	γ_{inst}	[-]	1,00					
Pryout-Faktor	k_8	[-]	2,0	2,0	2,2	2,5	2,5	2,5
Betonkantenbruch								
HST, HST-R und HST-HCR								
Wirksame Ankerlänge bei Querkraft	l_f	[mm]	47	60	70	82	101	125
Wirksamer Außendurchmesser	d_{nom}	[mm]	8	10	12	16	20	24
Montagesicherheitsbeiwert	γ_{inst}	[-]	1,00					

¹⁾ Nur HST und HST-R

Hilti Metallspreizanker HST, HST-R, HST-HCR, HST3, HST3-R

Leistungsfähigkeit

Charakteristische Werte der Quertragfähigkeit im gerissenen und ungerissenen Beton

Anhang C6

Tabelle C4: Charakteristische Werte der Quertragfähigkeit für Hilti Metallspreizanker HST3 und HST3-R im gerissenen und ungerissenen Beton

			M8	M10	M12	M16	M20	M24
Stahlversagen ohne Hebelarm								
HST3								
Effektive Verankerungstiefe	$h_{ef,2}$	[mm]	47	60	70	85	101	125
Charakteristische Quertragfähigkeit	$V_{Rk,s}$	[kN]	13,8	23,6	35,4	55,3	83,9	94,0
Charakteristische Quertragfähigkeit bei Verwendung des Ankers mit Verfüll-Set	$V_{Rk,s}$	[kN]	16,6	25,8	39,0	60,9	100,4	-
Teilsicherheitsbeiwert	$\gamma_{Ms}^{1)}$	[-]	1,25					1,50
Duktilitätsfaktor	k_7	[-]	1,00					
HST3-R								
Effektive Verankerungstiefe	$h_{ef,2}$	[mm]	47	60	70	85	101	125
Charakteristische Quertragfähigkeit	$V_{Rk,s}$	[kN]	15,7	25,3	36,7	63,6	97,2	115,0
Charakteristische Quertragfähigkeit bei Verwendung des Ankers mit Verfüll-Set	$V_{Rk,s}$	[kN]	19,5	28,4	44,3	70,2	102,7	-
Teilsicherheitsbeiwert	$\gamma_{Ms}^{1)}$	[-]	1,25					1,30
Duktilitätsfaktor	k_7	[-]	1,00					
HST3								
Effektive Verankerungstiefe	$h_{ef,1}$	[mm]	-	40	50	65	-	-
Charakteristische Quertragfähigkeit	$V_{Rk,s}$	[kN]	-	21,9	34,0	54,5	-	-
Teilsicherheitsbeiwert	$\gamma_{Ms}^{1)}$	[-]	-	1,25			-	-
Duktilitätsfaktor	k_7	[-]	-	1,00			-	-
HST3-R								
Effektive Verankerungstiefe	$h_{ef,1}$	[mm]	-	40	50	65	-	-
Charakteristische Quertragfähigkeit	$V_{Rk,s}$	[kN]	-	25,6	31,1	48,6	-	-
Teilsicherheitsbeiwert	$\gamma_{Ms}^{1)}$	[-]	-	1,25			-	-
Duktilitätsfaktor	k_7	[-]	-	1,00			-	-

¹⁾ Sofern andere nationale Regelungen fehlen

Hilti Metallspreizanker HST, HST-R, HST-HCR, HST3, HST3-R

Leistungsfähigkeit
Charakteristische Werte der Quertragfähigkeit im gerissenen und ungerissenen Beton

Anhang C7

Tabelle C4 fortgesetzt

		M8	M10	M12	M16	M20	M24	
Stahlversagen mit Hebelarm								
HST3								
Charakteristisches Biegemoment	$M_{Rk,s}^0$ [Nm]	30	60	105	240	457	595	
Teilsicherheitsbeiwert	$\gamma_{Ms}^{1)}$ [-]	1,25					1,50	
HST3-R								
Charakteristisches Biegemoment	$M_{Rk,s}^0$ [Nm]	27	53	93	216	425	730	
Teilsicherheitsbeiwert	$\gamma_{Ms}^{1)}$ [-]	1,25					1,30	
Betonausbruch auf der lastabgewandten Seite								
HST3 und HST3-R								
Effektive Verankerungslänge	$h_{ef,2}$ [mm]	47	60	70	85	101	125	
Montagesicherheitsbeiwert	γ_{inst} [-]	1,00						
Pryout-Faktor	k_8 [-]	2,62	2,67	2,78	3,41	3,20	2,50	
HST3 und HST3-R								
Effektive Verankerungslänge	$h_{ef,1}$ [mm]	-	40	50	65	-	-	
Montagesicherheitsbeiwert	γ_{inst} [-]	1,00						
Pryout-Faktor	k_8 [-]	-	2,67	2,78	3,41	-	-	
Betonkantenbruch								
HST3 und HST3-R								
Wirksame Ankerlänge bei Querkraft	$l_{f,2}$ [mm]	47	60	70	85	101	125	
Wirksame Ankerlänge bei Querkraft mit verkürzter Einbindetiefe	$l_{f,1}$ [mm]	-	40	50	65	-	-	
Wirksamer Außendurchmesser	d_{nom} [mm]	8	10	12	16	20	24	
Montagesicherheitsbeiwert	γ_{inst} [-]	1,00						

¹⁾ Sofern andere nationale Regelungen fehlen

Hilti Metallspreizanker HST, HST-R, HST-HCR, HST3, HST3-R

Leistungsfähigkeit

Charakteristische Werte der Quertragfähigkeit im gerissenen und ungerissenen Beton

Anhang C8

Tabelle C5: Verschiebungen unter Zug- und Querlast für Hilti Metallspreizanker HST, HST-R und HST-HCR für statische und quasistatische Lasten

			M8	M10	M12	M16	M20 ¹⁾	M24 ¹⁾
Verschiebungen unter Zuglast								
HST								
Zuglast im gerissenen Beton	N	[kN]	2,0	4,3	5,7	9,5	14,3	19,0
Zugehörige Verschiebung	δ_{N0}	[mm]	1,3	0,2	0,1	0,5	1,9	2,2
	$\delta_{N\infty}$	[mm]	1,2	1,0	1,2	1,2	2,3	2,5
Zuglast im ungerissenen Beton	N	[kN]	3,6	7,6	9,5	16,7	23,8	28,6
Zugehörige Verschiebung	δ_{N0}	[mm]	0,2	0,1	0,1	0,4	0,6	0,5
	$\delta_{N\infty}$	[mm]	1,1	1,1	1,1	1,1	1,4	1,4
HST-R und HST-HCR								
Zuglast im gerissenen Beton	N	[kN]	2,4	4,3	5,7	11,9	14,3	19,0
Zugehörige Verschiebung	δ_{N0}	[mm]	0,6	0,2	0,8	1,0	1,1	0,8
	$\delta_{N\infty}$	[mm]	1,5	1,2	1,4	1,2	1,2	1,7
Zuglast im ungerissenen Beton	N	[kN]	4,3	7,6	9,5	16,7	23,8	28,6
Zugehörige Verschiebung	δ_{N0}	[mm]	0,1	0,1	0,1	0,1	0,5	0,8
	$\delta_{N\infty}$	[mm]	1,5	1,2	1,4	1,2	1,2	1,7
Verschiebungen unter Querlast								
HST								
Querlast im gerissenen und ungerissenen Beton	V	[kN]	8,0	13,4	20,0	31,4	48,0	45,0
Zugehörige Verschiebung	δ_{V0}	[mm]	2,5	2,5	3,7	4,0	2,7	2,0
	$\delta_{V\infty}$	[mm]	3,8	3,7	5,5	6,0	4,1	3,0
HST-R und HST-HCR								
Querlast im gerissenen und ungerissenen Beton	V	[kN]	7,4	11,0	17,0	27,5	40,0	57,0
Zugehörige Verschiebung	δ_{V0}	[mm]	1,6	3,3	4,9	2,2	2,5	2,5
	$\delta_{V\infty}$	[mm]	2,4	4,9	7,4	3,3	3,7	3,7

¹⁾ Nur HST und HST-R

Hilti Metallspreizanker HST, HST-R, HST-HCR, HST3, HST3-R

Leistungsfähigkeit
Verschiebungen unter Zug- und Querbelastung

Anhang C9

Tabelle C6: Verschiebungen unter Zug- und Querlast für Hilti Metallspreizanker HST3 und HST3-R für statische und quasistatische Lasten

			M8	M10	M12	M16	M20	M24
Verschiebungen unter Zuglast								
HST3								
Effektive Verankerungstiefe	$h_{ef,2}$	[mm]	47	60	70	85	101	125
Zuglast im gerissenen Beton	N	[kN]	3,6	5,7	9,5	13,4	17,4	19,0
Zugehörige Verschiebung	δ_{N0}	[mm]	0,6	0,6	0,8	1,8	1,3	2,2
	$\delta_{N\infty}$	[mm]	1,1	1,3	1,6	1,7	1,8	2,5
Zuglast im ungerissenen Beton	N	[kN]	5,7	9,5	11,9	18,9	24,4	28,6
Zugehörige Verschiebung	δ_{N0}	[mm]	0,2	0,3	0,2	0,8	0,5	0,5
	$\delta_{N\infty}$	[mm]	0,4	0,5	0,4	1,5	0,9	1,4
HST3-R								
Effektive Verankerungstiefe	$h_{ef,2}$	[mm]	47	60	70	85	101	125
Zuglast im gerissenen Beton	N	[kN]	3,6	5,7	9,5	13,4	17,4	19,0
Zugehörige Verschiebung	δ_{N0}	[mm]	0,6	0,6	0,8	1,8	1,3	0,8
	$\delta_{N\infty}$	[mm]	1,1	1,3	1,6	1,7	1,8	1,7
Zuglast im ungerissenen Beton	N	[kN]	5,7	9,5	11,9	18,9	24,4	28,6
Zugehörige Verschiebung	δ_{N0}	[mm]	0,2	0,3	0,2	0,8	0,5	0,8
	$\delta_{N\infty}$	[mm]	0,4	0,5	0,4	1,5	0,9	1,7
HST3 und HST3-R								
Effektive Verankerungstiefe	$h_{ef,1}$	[mm]	-	40	50	65	-	-
Zuglast im gerissenen Beton	N	[kN]	-	4,3	6,1	9,0	-	-
Zugehörige Verschiebung	δ_{N0}	[mm]	-	0,6	0,4	0,6	-	-
	$\delta_{N\infty}$	[mm]	-	1,3	1,6	1,7	-	-
Zuglast im ungerissenen Beton	N	[kN]	-	6,1	8,5	12,6	-	-
Zugehörige Verschiebung	δ_{N0}	[mm]	-	0,2	0,7	0,8	-	-
	$\delta_{N\infty}$	[mm]	-	0,4	1,2	1,5	-	-

Hilti Metallspreizanker HST, HST-R, HST-HCR, HST3, HST3-R

Leistungsfähigkeit
Verschiebungen unter Zug- und Querbelastung

Anhang C10

Tabelle C6 fortgesetzt

			M8	M10	M12	M16	M20	M24
Verschiebungen unter Querlast								
HST3								
Effektive Verankerungstiefe	$h_{ef,2}$	[mm]	47	60	70	85	101	125
Querlast im gerissenen und ungerissenen Beton	V	[kN]	7,9	13,5	20,2	31,6	47,9	45,0
Zugehörige Verschiebung	δ_{v0}	[mm]	2,8	2,5	3,8	4,3	2,7	2,0
	$\delta_{v\infty}$	[mm]	4,2	3,7	5,6	6,4	4,1	3,0
Querlast im gerissenen und ungerissenen Beton bei Verwendung des Ankers mit Verfüll-Set	V	[kN]	9,5	14,7	22,3	34,8	57,4	-
Zugehörige Verschiebung	δ_{v0}	[mm]	2,9	2,3	2,0	2,3	5,9	-
	$\delta_{v\infty}$	[mm]	4,4	3,4	3,0	3,5	8,8	-
HST3-R								
Effektive Verankerungstiefe	$h_{ef,2}$	[mm]	47	60	70	85	101	125
Querlast im gerissenen und ungerissenen Beton	V	[kN]	8,9	14,5	21,0	36,3	55,6	57,0
Zugehörige Verschiebung	δ_{v0}	[mm]	7,1	2,3	3,3	5,7	3,2	2,5
	$\delta_{v\infty}$	[mm]	10,7	3,4	4,9	8,5	4,8	3,7
Querlast im gerissenen und ungerissenen Beton bei Verwendung des Ankers mit Verfüll-Set	V	[kN]	11,1	16,2	25,3	40,1	58,7	-
Zugehörige Verschiebung	δ_{v0}	[mm]	1,9	2,0	2,3	3,4	4,9	-
	$\delta_{v\infty}$	[mm]	2,9	3,0	3,4	5,0	7,3	-

Hilti Metallspreizanker HST, HST-R, HST-HCR, HST3, HST3-R

Leistungsfähigkeit
Verschiebungen unter Zug- und Querbelastung

Anhang C11

Tabelle C6 fortgesetzt

			M8	M10	M12	M16	M20	M24
Verschiebungen unter Querlast								
HST3								
Effektive Verankerungstiefe	$h_{ef,1}$	[mm]	-	40	50	65	-	-
Querlast im gerissenen und ungerissenen Beton	V	[kN]	-	12,5	19,4	31,1	-	-
Zugehörige Verschiebung	δ_{v0}	[mm]	-	4,2	3,1	4,4	-	-
	$\delta_{v\infty}$	[mm]	-	6,3	4,7	6,6	-	-
HST3-R								
Effektive Verankerungstiefe	$h_{ef,1}$	[mm]	-	40	50	65	-	-
Querlast im gerissenen und ungerissenen Beton	V	[kN]	-	14,6	17,8	27,8	-	-
Zugehörige Verschiebung	δ_{v0}	[mm]	-	3,7	3,9	3,5	-	-
	$\delta_{v\infty}$	[mm]	-	5,6	5,8	5,3	-	-

Hilti Metallspreizanker HST, HST-R, HST-HCR, HST3, HST3-R

Leistungsfähigkeit
Verschiebungen unter Zug- und Querbelastung

Anhang C12

Tabelle C7: Charakteristische Werte der Zugtragfähigkeit bei Erdbebenbeanspruchung für Hilti Metallspreizanker HST und HST-R, Leistungskategorie C1

		M8	M10	M12	M16	M20	M24
Stahlversagen							
HST							
Charakteristische Zugtragfähigkeit	$N_{Rk,s,seis}$ [kN]	-	32,0	45,0	76,0	-	-
Teilsicherheitsbeiwert	$\gamma_{Ms,seis}^{1)}$ [-]	-	1,50		-	-	-
HST-R							
Charakteristische Zugtragfähigkeit	$N_{Rk,s,seis}$ [kN]	-	28,0	40,0	69,0	-	-
Teilsicherheitsbeiwert	$\gamma_{Ms,seis}^{1)}$ [-]	-	1,50		1,56	-	-
Herausziehen							
HST und HST-R							
Charakteristische Zugtragfähigkeit	$N_{Rk,p,seis}$ [kN]	-	8,0	10,7	18,0	-	-
Montagesicherheitsbeiwert	γ_{inst} [-]	-	1,00		-	-	-
Betonausbruch ²⁾							
HST und HST-R							
Montagesicherheitsbeiwert	γ_{inst} [-]	-	1,00		-	-	-
Spalten ²⁾							
HST und HST-R							
Montagesicherheitsbeiwert	γ_{inst} [-]	-	1,00		-	-	-

¹⁾ Sofern andere nationale Regelungen fehlen

²⁾ Für Betonausbruch und Spalten siehe EN 1992-4:2018

Hilti Metallspreizanker HST, HST-R, HST-HCR, HST3, HST3-R

Leistungsfähigkeit

Charakteristische Werte der Zugtragfähigkeit für Leistungskategorie C1

Anhang C13

Tabelle C8: Charakteristische Werte der Zugtragfähigkeit bei Erdbebenbeanspruchung für Hilti Metallspreizanker HST3 und HST3-R, Leistungskategorie C1

		M8	M10	M12	M16	M20	M24
Stahlversagen							
HST3							
Effektive Verankerungstiefe	$h_{ef,2}$ [mm]	47	60	70	85	101	-
Charakteristische Zugtragfähigkeit	$N_{Rk,s,seis}$ [kN]	19,7	32,5	45,1	76,0	124,2	-
Teilsicherheitsbeiwert	$\gamma_{Ms,seis}^{1)}$ [-]	1,40					-
HST3-R							
Effektive Verankerungstiefe	$h_{ef,2}$ [mm]	47	60	70	85	101	-
Charakteristische Zugtragfähigkeit	$N_{Rk,s,seis}$ [kN]	17,7	28,7	42,5	69,4	115,8	-
Teilsicherheitsbeiwert	$\gamma_{Ms,seis}^{1)}$ [-]	1,40					-
Herausziehen							
HST3							
Effektive Verankerungstiefe	$h_{ef,2}$ [mm]	47	60	70	85	101	-
Charakteristische Zugtragfähigkeit	$N_{Rk,p,seis}$ [kN]	8,0	15,0	20,0	27,0	35,0	-
Montagesicherheitsbeiwert	γ_{inst} [-]	1,00					-
HST3-R							
Effektive Verankerungstiefe	$h_{ef,2}$ [mm]	47	60	70	85	101	-
Charakteristische Zugtragfähigkeit	$N_{Rk,p,seis}$ [kN]	8,5	15,0	20,0	27,0	35,0	-
Montagesicherheitsbeiwert	γ_{inst} [-]	1,00					-
Betonausbruch ²⁾							
HST3 und HST3-R							
Effektive Verankerungstiefe	$h_{ef,2}$ [mm]	47	60	70	85	101	-
Montagesicherheitsbeiwert	γ_{inst} [-]	1,00					-
Spalten ²⁾							
HST3 und HST3-R							
Effektive Verankerungstiefe	$h_{ef,2}$ [mm]	47	60	70	85	101	-
Montagesicherheitsbeiwert	γ_{inst} [-]	1,00					-

¹⁾ Sofern andere nationale Regelungen fehlen

²⁾ Für Betonausbruch und Spalten siehe EN 1992-4:2018

Hilti Metallspreizanker HST, HST-R, HST-HCR, HST3, HST3-R

Leistungsfähigkeit
Charakteristische Werte der Zugtragfähigkeit für Leistungskategorie C1

Anhang C14

Tabelle C9: Charakteristische Werte der Quertragfähigkeit bei Erdbebenbeanspruchung für Hilti Metallspreizanker HST und HST-R, Leistungskategorie C1

	M8	M10	M12	M16	M20	M24
Stahlversagen						
HST						
Charakteristische Quertragfähigkeit $V_{Rk,s,seis}$ [kN]	-	16,0	27,0	41,3	-	-
Teilsicherheitsbeiwert $\gamma_{Ms,seis}^{1)}$ [-]	-	1,25		-	-	-
HST-R						
Charakteristische Quertragfähigkeit $V_{Rk,s,seis}$ [kN]	-	13,6	23,1	37,5	-	-
Teilsicherheitsbeiwert $\gamma_{Ms,seis}^{1)}$ [-]	-	1,25		1,30	-	-
Betonausbruch auf der lastabgewandten Seite ²⁾						
HST und HST-R						
Montagesicherheitsbeiwert γ_{inst} [-]	-	1,00		-	-	-
Betonkantenbruch ²⁾						
HST und HST-R						
Montagesicherheitsbeiwert γ_{inst} [-]	-	1,00		-	-	-

¹⁾ Sofern andere nationale Regelungen fehlen

²⁾ Für Betonausbruch auf der lastabgewandten Seite und Betonkantenbruch siehe EN 1992-4:2018

Hilti Metallspreizanker HST, HST-R, HST-HCR, HST3, HST3-R

Leistungsfähigkeit

Charakteristische Werte der Quertragfähigkeit für Leistungskategorie C1

Anhang C15

Tabelle C10: Charakteristische Werte der Quertragfähigkeit bei Erdbebenbeanspruchung für Hilti Metallspreizanker HST3 und HST3-R, Leistungskategorie C1

		M8	M10	M12	M16	M20	M24
Stahlversagen							
HST3							
Effektive Verankerungstiefe	$h_{ef,2}$ [mm]	47	60	70	85	101	-
Charakteristische Quertragfähigkeit	$V_{Rk,s,seis}$ [kN]	12,5	21,4	32,2	48,7	77,6	-
Charakteristische Quertragfähigkeit bei Verwendung des Ankers mit dem Verfüll-Set	$V_{Rk,s,seis}$ [kN]	16,6	25,8	39,0	60,9	100,4	-
Teilsicherheitsbeiwert	$\gamma_{Ms,seis}^{1)}$ [-]	1,25					-
HST3-R							
Effektive Verankerungstiefe	$h_{ef,2}$ [mm]	47	60	70	85	101	-
Charakteristische Quertragfähigkeit	$V_{Rk,s,seis}$ [kN]	15,0	22,8	36,6	60,4	56,7	-
Charakteristische Quertragfähigkeit bei Verwendung des Ankers mit dem Verfüll-Set	$V_{Rk,s,seis}$ [kN]	19,5	28,4	44,3	70,2	102,7	-
Teilsicherheitsbeiwert	$\gamma_{Ms,seis}^{1)}$ [-]	1,25					-
Betonausbruch auf der lastabgewandten Seite ²⁾							
HST3 und HST3-R							
Effektive Verankerungstiefe	$h_{ef,2}$ [mm]	47	60	70	85	101	-
Montagesicherheitsbeiwert	γ_{inst} [-]	1,00					-
Betonkantenbruch ²⁾							
HST3 und HST3-R							
Effektive Verankerungstiefe	$h_{ef,2}$ [mm]	47	60	70	85	101	-
Montagesicherheitsbeiwert	γ_{inst} [-]	1,00					-

¹⁾ Sofern andere nationale Regelungen fehlen

²⁾ Für Betonausbruch auf der lastabgewandten Seite und Betonkantenbruch siehe EN 1992-4:2018

Hilti Metallspreizanker HST, HST-R, HST-HCR, HST3, HST3-R

Leistungsfähigkeit
Charakteristische Werte der Quertragfähigkeit für Leistungskategorie C1

Anhang C16

Tabelle C11: Charakteristische Werte der Zugtragfähigkeit bei Erdbebenbeanspruchung für Hilti Metallspreizanker HST und HST-R, Leistungskategorie C2

			M8	M10	M12	M16	M20	M24
Stahlversagen								
HST								
Charakteristische Zugtragfähigkeit	$N_{Rk,s,seis}$ [kN]		-	32,0	45,0	76,0	-	-
Teilsicherheitsbeiwert	$\gamma_{Ms,seis}^{1)}$ [-]		-	1,50			-	-
HST-R								
Charakteristische Zugtragfähigkeit	$N_{Rk,s,seis}$ [kN]		-	28,0	40,0	69,0	-	-
Teilsicherheitsbeiwert	$\gamma_{Ms,seis}^{1)}$ [-]		-	1,50		1,56	-	-
Herausziehen								
HST und HST-R								
Charakteristische Zugtragfähigkeit	$N_{Rk,p,seis}$ [kN]		-	3,3	10,0	12,8	-	-
Montagesicherheitsbeiwert	γ_{inst} [-]		-	1,00			-	-
Betonausbruch ²⁾								
HST und HST-R								
Montagesicherheitsbeiwert	γ_{inst} [-]		-	1,00			-	-
Spalten ²⁾								
HST und HST-R								
Montagesicherheitsbeiwert	γ_{inst} [-]		-	1,00			-	-

¹⁾ Sofern andere nationale Regelungen fehlen

²⁾ Für Betonausbruch und Spalten siehe EN 1992-4:2018

Table C12: Verschiebungen unter Zuglast bei Erdbebenbeanspruchung für Hilti Metallspreizanker HST und HST-R, Leistungskategorie C2

			M8	M10	M12	M16	M20	M24
HST und HST-R								
Verschiebung DLS	$\delta_{N,seis}$ [mm]		-	1,4	6,7	4,0	-	-
Verschiebung ULS	$\delta_{N,seis}$ [mm]		-	8,6	15,9	13,3	-	-

Hilti Metallspreizanker HST, HST-R, HST-HCR, HST3, HST3-R

Leistungsfähigkeit

Charakteristische Werte der Zugtragfähigkeit und Verschiebungen unter Zuglast für Leistungskategorie C2

Anhang C17

Tabelle C13: Charakteristische Werte der Zugtragfähigkeit bei Erdbebenbeanspruchung für Hilti Metallspreizanker HST3 und HST3-R, Leistungskategorie C2

		M8	M10	M12	M16	M20	M24
Stahlversagen							
HST3							
Effektive Verankerungstiefe	$h_{ef,2}$ [mm]	47	60	70	85	101	-
Effektive Verankerungstiefe	$h_{ef,1}$ [mm]	-	-	50	-	-	-
Charakteristische Zugtragfähigkeit	$N_{Rk,s,seis}$ [kN]	19,7	32,5	45,1	76,0	124,2	-
Teilsicherheitsbeiwert	$\gamma_{Ms,seis}^{1)}$ [-]	1,40					-
HST3-R							
Effektive Verankerungstiefe	$h_{ef,2}$ [mm]	47	60	70	85	101	-
Charakteristische Zugtragfähigkeit	$N_{Rk,s,seis}$ [kN]	17,7	28,7	42,5	69,4	115,8	-
Teilsicherheitsbeiwert	$\gamma_{Ms,seis}^{1)}$ [-]	1,40					-
Herausziehen							
HST3							
Effektive Verankerungstiefe	$h_{ef,2}$ [mm]	47	60	70	85	101	-
Charakteristische Zugtragfähigkeit	$N_{Rk,p,seis}$ [kN]	3,0	10,4	19,5	27,0	35,0	-
Montagesicherheitsbeiwert	γ_{inst} [-]	1,00					-
Effektive Verankerungstiefe	$h_{ef,1}$ [mm]	-	-	50	-	-	-
Charakteristische Zugtragfähigkeit	$N_{Rk,p,seis}$ [kN]	-	-	11,4	-	-	-
Montagesicherheitsbeiwert	γ_{inst} [-]	1,00					-
HST3-R							
Effektive Verankerungstiefe	$h_{ef,2}$ [mm]	47	60	70	85	101	-
Charakteristische Zugtragfähigkeit	$N_{Rk,p,seis}$ [kN]	3,4	10,4	19,5	27,0	35,0	-
Montagesicherheitsbeiwert	γ_{inst} [-]	1,00					-
Betonausbruch ²⁾							
HST3 und HST3-R							
Effektive Verankerungstiefe	$h_{ef,2}$ [mm]	47	60	70	85	101	-
Effektive Verankerungstiefe	$h_{ef,1}$ [mm]	-	-	50	-	-	-
Montagesicherheitsbeiwert	γ_{inst} [-]	1,00					-

¹⁾ Sofern andere nationale Regelungen fehlen

²⁾ Für Betonausbruch und Spalten siehe EN 1992-4:2018

Hilti Metallspreizanker HST, HST-R, HST-HCR, HST3, HST3-R

Leistungsfähigkeit
Charakteristische Werte der Zugtragfähigkeit für Leistungskategorie C2

Anhang C18

Tabelle C13 fortgesetzt

			M8	M10	M12	M16	M20	M24
Spalten ²⁾								
HST3 und HST3-R								
Effektive Verankerungstiefe	$h_{ef,2}$	[mm]	47	60	70	85	101	-
Effektive Verankerungstiefe	$h_{ef,1}$	[mm]	-	-	50	-	-	
Montagesicherheitsbeiwert	γ_{inst}	[-]	1,00					-

²⁾ Für Betonausbruch und Spalten siehe EN 1992-4:2018

**Tabelle C14: Verschiebungen unter Zuglast bei Erdbebenbeanspruchung für Hilti
Metallspreizanker HST3 und HST3-R, Leistungskategorie C2**

			M8	M10	M12	M16	M20	M24
HST3 und HST3-R								
Effektive Verankerungstiefe	$h_{ef,2}$	[mm]	47	60	70	85	101	-
Verschiebung DLS	$\delta_{N,seis}$	[mm]	2,7	3,9	5,2	5,2	6,9	-
Verschiebung ULS	$\delta_{N,seis}$	[mm]	10,5	13,7	13,9	11,9	18,4	-
HST3								
Effektive Verankerungstiefe	$h_{ef,1}$	[mm]	-	-	50	-	-	-
Verschiebung DLS	$\delta_{N,seis}$	[mm]	-	-	1,2	-	-	-
Verschiebung ULS	$\delta_{N,seis}$	[mm]	-	-	2,5	-	-	-

Hilti Metallspreizanker HST, HST-R, HST-HCR, HST3, HST3-R

Leistungsfähigkeit

Charakteristische Werte der Zugtragfähigkeit und Verschiebungen unter Zuglast für
Leistungskategorie C2

Anhang C19

Tabelle C15: Charakteristische Werte der Quertragfähigkeit bei Erdbebenbeanspruchung für Hilti Metallspreizanker HST und HST-R, Leistungskategorie C2

		M8	M10	M12	M16	M20	M24
Stahlversagen							
HST							
Charakteristische Quertragfähigkeit	$V_{Rk,s,seis}$ [kN]	-	14,3	21,0	41,3	-	-
Teilsicherheitsbeiwert	$\gamma_{Ms,seis}^{1)}$ [-]	-	1,25		-	-	-
HST-R							
Charakteristische Quertragfähigkeit	$V_{Rk,s,seis}$ [kN]	-	12,0	18,0	37,5	-	-
Teilsicherheitsbeiwert	$\gamma_{Ms,seis}^{1)}$ [-]	-	1,25		1,30	-	-
Betonausbruch auf der lastabgewandten Seite ²⁾							
HST und HST-R							
Montagesicherheitsbeiwert	γ_{inst} [-]	-	1,00		-	-	-
Betonkantenbruch ²⁾							
HST und HST-R							
Montagesicherheitsbeiwert	γ_{inst} [-]	-	1,00		-	-	-

¹⁾ Sofern andere nationale Regelungen fehlen

²⁾ Für Betonausbruch auf der lastabgewandten Seite und Betonkantenbruch siehe EN 1992-4:2018

Tabelle C16: Verschiebungen unter Querlast bei Erdbebenbeanspruchung für Hilti Metallspreizanker HST und HST-R, Leistungskategorie C2

		M8	M10	M12	M16	M20	M24
HST und HST-R							
Verschiebung DLS	$\delta_{V,seis}$ [mm]	-	4,2	5,3	5,7	-	-
Verschiebung ULS	$\delta_{V,seis}$ [mm]	-	7,5	7,9	8,9	-	-

Hilti Metallspreizanker HST, HST-R, HST-HCR, HST3, HST3-R

Leistungsfähigkeit

Charakteristische Werte der Quertragfähigkeit und Verschiebungen unter Querlast für Leistungskategorie C2

Anhang C20

Tabelle C17: Charakteristische Werte der Quertragfähigkeit bei Erdbebenbeanspruchung für Hilti Metallspreizanker HST3 und HST3-R, Leistungskategorie C2

		M8	M10	M12	M16	M20	M24
Stahlversagen							
HST3							
Effektive Verankerungstiefe	$h_{ef,2}$ [mm]	47	60	70	85	101	-
Charakteristische Quertragfähigkeit	$V_{Rk,s,seis}$ [kN]	9,5	16,1	26,1	42,4	66,9	-
Charakteristische Quertragfähigkeit bei Verwendung des Ankers mit dem Verfüll-Set	$V_{Rk,s,seis}$ [kN]	9,9	19,0	28,6	48,5	84,3	-
Teilsicherheitsbeiwert	$\gamma_{Ms,seis}^{1)}$ [-]	1,25					-
Effektive Verankerungstiefe	$h_{ef,1}$ [mm]	-	-	50	-	-	-
Charakteristische Quertragfähigkeit	$V_{Rk,s,seis}$ [kN]	-	-	15,6	-	-	-
Teilsicherheitsbeiwert	$\gamma_{Ms,seis}^{1)}$ [-]	1,25					-
HST3-R							
Effektive Verankerungstiefe	$h_{ef,2}$ [mm]	47	60	70	85	101	-
Charakteristische Quertragfähigkeit	$V_{Rk,s,seis}$ [kN]	8,1	15,7	22,4	42,6	49,5	-
Charakteristische Quertragfähigkeit bei Verwendung des Ankers mit dem Verfüll-Set	$V_{Rk,s,seis}$ [kN]	9,9	17,2	27,6	42,5	67,4	-
Teilsicherheitsbeiwert	$\gamma_{Ms,seis}^{1)}$ [-]	1,25					-
Betonausbruch auf der lastabgewandten Seite ²⁾							
HST3 und HST3-R							
Effektive Verankerungstiefe	$h_{ef,2}$ [mm]	47	60	70	85	101	-
Effektive Verankerungstiefe	$h_{ef,1}$ [mm]	-	-	50	-	-	-
Montagesicherheitsbeiwert	γ_{inst} [-]	1,00					-
Betonkantenbruch ²⁾							
HST3 und HST3-R							
Effektive Verankerungstiefe	$h_{ef,2}$ [mm]	47	60	70	85	101	-
Effektive Verankerungstiefe	$h_{ef,1}$ [mm]	-	-	50	-	-	-
Montagesicherheitsbeiwert	γ_{inst} [-]	1,00					-

¹⁾ Sofern andere nationale Regelungen fehlen

²⁾ Für Betonausbruch auf der lastabgewandten Seite und Betonkantenbruch siehe EN 1992-4:2018

Hilti Metallspreizanker HST, HST-R, HST-HCR, HST3, HST3-R

Leistungsfähigkeit
Charakteristische Werte der Quertragfähigkeit für Leistungskategorie C2

Anhang C21

**Tabelle C18: Verschiebungen unter Querlast bei Erdbebenbeanspruchung für Hilti
Metallspreizanker HST3 und HST3-R, Leistungskategorie C2**

			M8	M10	M12	M16	M20	M24
HST3								
Effektive Verankerungstiefe	$h_{ef,2}$	[mm]	47	60	70	85	101	-
Verschiebung DLS	$\delta_{V,seis}$	[mm]	3,4	4,0	4,6	4,8	5,2	-
Verschiebung DLS bei Verwendung des Ankers mit dem Verfüll-Set	$\delta_{V,seis}$	[mm]	1,4	1,6	2,5	1,7	1,9	-
Verschiebung ULS	$\delta_{V,seis}$	[mm]	4,9	6,2	8,1	8,2	10,0	-
Verschiebung ULS bei Verwendung des Ankers mit dem Verfüll-Set	$\delta_{V,seis}$	[mm]	4,3	4,4	7,2	3,9	5,3	-
Effektive Verankerungstiefe	$h_{ef,1}$	[mm]	-	-	50	-	-	-
Verschiebung DLS	$\delta_{V,seis}$	[mm]	-	-	5,2	-	-	-
Verschiebung ULS	$\delta_{V,seis}$	[mm]	-	-	8,4	-	-	-
HST3-R								
Effektive Verankerungstiefe	$h_{ef,2}$	[mm]	47	60	70	85	101	-
Verschiebung DLS	$\delta_{V,seis}$	[mm]	3,5	5,0	6,0	5,8	3,9	-
Verschiebung DLS bei Verwendung des Ankers mit dem Verfüll-Set	$\delta_{V,seis}$	[mm]	1,6	1,6	2,0	1,9	2,2	-
Verschiebung ULS	$\delta_{V,seis}$	[mm]	7,5	9,1	10,1	12,3	7,0	-
Verschiebung ULS bei Verwendung des Ankers mit dem Verfüll-Set	$\delta_{V,seis}$	[mm]	5,0	7,6	6,8	4,7	5,8	-

Hilti Metallspreizanker HST, HST-R, HST-HCR, HST3, HST3-R

Leistungsfähigkeit
Verschiebungen unter Querlast für Leistungskategorie C2

Anhang C22

Tabelle C19: Charakteristische Zugtragfähigkeit bei Brandbeanspruchung für Hilti Metallspreizanker HST, HST-R und HST-HCR im gerissenen und ungerissenen Beton

				M8	M10	M12	M16	M20 ¹⁾	M24 ¹⁾
Stahlversagen									
HST									
Charakteristische Zugtragfähigkeit	R30	$N_{Rk,s,fi}$	[kN]	0,9	2,5	5,0	9,0	15,0	20,0
	R60	$N_{Rk,s,fi}$	[kN]	0,7	1,5	3,5	6,0	10,0	15,0
	R90	$N_{Rk,s,fi}$	[kN]	0,6	1,0	2,0	3,5	6,0	8,0
	R120	$N_{Rk,s,fi}$	[kN]	0,5	0,7	1,0	2,0	3,5	5,0
HST-R und HST HCR									
Charakteristische Zugtragfähigkeit	R30	$N_{Rk,s,fi}$	[kN]	4,9	11,8	17,2	32,0	49,9	71,9
	R60	$N_{Rk,s,fi}$	[kN]	3,6	8,4	12,2	22,8	35,5	51,2
	R90	$N_{Rk,s,fi}$	[kN]	2,4	5,0	7,3	13,5	21,1	30,4
	R120	$N_{Rk,s,fi}$	[kN]	1,7	3,3	4,8	8,9	13,9	20,0
Herausziehen									
HST									
Charakteristische Zugtragfähigkeit in Beton \geq C20/25	R30	$N_{Rk,p,fi}$	[kN]	1,3	2,3	3,0	5,0	7,5	10,0
	R60	$N_{Rk,p,fi}$	[kN]						
	R90	$N_{Rk,p,fi}$	[kN]						
	R120	$N_{Rk,p,fi}$	[kN]	1,0	1,8	2,4	4,0	6,0	8,0
HST-R und HST-HCR									
Charakteristische Zugtragfähigkeit in Beton \geq C20/25	R30	$N_{Rk,p,fi}$	[kN]	1,3	2,3	3,0	6,3	7,5	10,0
	R60	$N_{Rk,p,fi}$	[kN]						
	R90	$N_{Rk,p,fi}$	[kN]						
	R120	$N_{Rk,p,fi}$	[kN]	1,0	1,8	2,4	5,0	6,0	8,0

¹⁾ Nur HST und HST-R

Sofern andere nationale Regelungen fehlen wird der Teilsicherheitsbeiwert für die Brandbeanspruchung $\gamma_{M,fi} = 1,0$ empfohlen.

Hilti Metallspreizanker HST, HST-R, HST-HCR, HST3, HST3-R

Leistungsfähigkeit

Charakteristische Werte der Zugtragfähigkeit bei Brandbeanspruchung im gerissenen und ungerissenen Beton

Anhang C23

Tabelle C19 fortgesetzt

			M8	M10	M12	M16	M20 ¹⁾	M24 ¹⁾
Betonausbruch								
HST, HST-R und HST-HCR								
Charakteristische Zugtragfähigkeit in Beton \geq C20/25	R30	$N^{0}_{RK,c,fi}$ [kN]	2,7	5,0	7,4	11,0	18,5	31,4
	R60	$N^{0}_{RK,c,fi}$ [kN]						
	R90	$N^{0}_{RK,c,fi}$ [kN]						
	R120	$N^{0}_{RK,c,fi}$ [kN]						
Achsabstand	$s_{cr,N}$	[mm]	4 h_{ef}					
	s_{min}	[mm]	40	55	60	70	100	125
Randabstand	$c_{cr,N}$	[mm]	2 h_{ef}					
	c_{min}	[mm]	Einseitige Brandbeanspruchung: 2 h_{ef} Mehrseitige Brandbeanspruchung: \geq 300					

¹⁾ Nur HST und HST-R

Sofern andere nationale Regelungen fehlen wird der Teilsicherheitsbeiwert für die Brandbeanspruchung $\gamma_{M,fi} = 1,0$ empfohlen.

Hilti Metallspreizanker HST, HST-R, HST-HCR, HST3, HST3-R

Leistungsfähigkeit

Charakteristische Werte der Zugtragfähigkeit bei Brandbeanspruchung im gerissenen und ungerissenen Beton

Anhang C24

**Tabelle C20: Charakteristische Zugtragfähigkeit bei Brandbeanspruchung für Hilti
Metallspreizanker HST3 und HST3-R im gerissenen und ungerissenen
Beton**

			M8	M10	M12	M16	M20	M24
Stahlversagen								
HST3								
Effektive Verankerungstiefe	$h_{ef,2}$	[mm]	47	60	70	85	101	125
Charakteristische Zugtragfähigkeit	R30	$N_{Rk,s,fi}$ [kN]	0,9	2,4	5,2	9,7	15,2	21,9
	R60	$N_{Rk,s,fi}$ [kN]	0,8	1,8	3,7	6,8	10,6	15,3
	R90	$N_{Rk,s,fi}$ [kN]	0,7	1,2	2,1	3,9	6,0	8,7
	R120	$N_{Rk,s,fi}$ [kN]	0,6	0,9	1,3	2,4	3,8	5,4
HST3-R								
Effektive Verankerungstiefe	$h_{ef,2}$	[mm]	47	60	70	85	101	125
Charakteristische Zugtragfähigkeit	R30	$N_{Rk,s,fi}$ [kN]	4,9	11,8	17,1	31,9	49,8	71,8
	R60	$N_{Rk,s,fi}$ [kN]	3,6	8,4	12,2	22,8	35,5	51,2
	R90	$N_{Rk,s,fi}$ [kN]	2,4	5,0	7,3	13,6	21,2	30,6
	R120	$N_{Rk,s,fi}$ [kN]	1,7	3,3	4,8	9,0	14,1	20,3
HST3								
Effektive Verankerungstiefe	$h_{ef,1}$	[mm]	-	40	50	65	-	-
Charakteristische Zugtragfähigkeit	R30	$N_{Rk,s,fi}$ [kN]	-	1,5	2,3	4,4	-	-
	R60	$N_{Rk,s,fi}$ [kN]	-	1,2	1,7	3,2	-	-
	R90	$N_{Rk,s,fi}$ [kN]	-	0,9	1,1	2,1	-	-
	R120	$N_{Rk,s,fi}$ [kN]	-	0,8	0,8	1,5	-	-
HST3-R								
Effektive Verankerungstiefe	$h_{ef,1}$	[mm]	-	40	50	65	-	-
Charakteristische Zugtragfähigkeit	R30	$N_{Rk,s,fi}$ [kN]	-	5,2	9,1	16,9	-	-
	R60	$N_{Rk,s,fi}$ [kN]	-	3,7	6,8	12,6	-	-
	R90	$N_{Rk,s,fi}$ [kN]	-	2,5	4,5	8,4	-	-
	R120	$N_{Rk,s,fi}$ [kN]	-	2,0	3,3	6,2	-	-

Sofern andere nationale Regelungen fehlen wird der Teilsicherheitsbeiwert für die Brandbeanspruchung $\gamma_{M,fi} = 1,0$ empfohlen.

Hilti Metallspreizanker HST, HST-R, HST-HCR, HST3, HST3-R

Leistungsfähigkeit

Charakteristische Werte der Zugtragfähigkeit bei Brandbeanspruchung im gerissenen und ungerissenen Beton

Anhang C25

Tabelle C20 fortgesetzt

			M8	M10	M12	M16	M20	M24
Herausziehen								
HST3 und HST3-R								
Effektive Verankerungstiefe	$h_{ef,2}$	[mm]	47	60	70	85	101	125
Charakteristische Zugtragfähigkeit in Beton \geq C20/25	R30	$N_{Rk,p,fi}$ [kN]	1,9	3,0	5,0	7,1	9,1	12,6
	R60	$N_{Rk,p,fi}$ [kN]						
	R90	$N_{Rk,p,fi}$ [kN]						
	R120	$N_{Rk,p,fi}$ [kN]						
HST3 und HST3-R								
Effektive Verankerungstiefe	$h_{ef,1}$	[mm]	-	40	50	65	-	-
Charakteristische Zugtragfähigkeit in Beton \geq C20/25	R30	$N_{Rk,p,fi}$ [kN]	-	2,3	3,2	4,7	-	-
	R60	$N_{Rk,p,fi}$ [kN]						
	R90	$N_{Rk,p,fi}$ [kN]						
	R120	$N_{Rk,p,fi}$ [kN]						

Sofern andere nationale Regelungen fehlen wird der Teilsicherheitsbeiwert für die Brandbeanspruchung $\gamma_{M,fi} = 1,0$ empfohlen.

Hilti Metallspreizanker HST, HST-R, HST-HCR, HST3, HST3-R

Leistungsfähigkeit

Charakteristische Werte der Zugtragfähigkeit bei Brandbeanspruchung im gerissenen und ungerissenen Beton

Anhang C26

Tabelle C20 fortgesetzt

			M8	M10	M12	M16	M20	M24
Betonausbruch								
HST3 und HST3-R								
Effektive Verankerungstiefe	$h_{ef,2}$	[mm]	47	60	70	85	101	125
Charakteristische Zugtragfähigkeit in Beton \geq C20/25	R30	$N^0_{RK,c,fi}$ [kN]	2,7	5,0	7,4	12,0	18,5	31,4
	R60	$N^0_{RK,c,fi}$ [kN]						
	R90	$N^0_{RK,c,fi}$ [kN]						
	R120	$N^0_{RK,c,fi}$ [kN]						
Achsabstand	$s_{cr,N}$	[mm]	4 h_{ef}					
	s_{min}	[mm]	35	40	50	65	90	125
Randabstand	$c_{cr,N}$	[mm]	2 h_{ef}					
	c_{min}	[mm]	Einseitige Brandbeanspruchung: 2 h_{ef} Mehrseitige Brandbeanspruchung: \geq 300					
HST3 und HST3-R								
Effektive Verankerungstiefe	$h_{ef,1}$	[mm]	-	40	50	65	-	-
Charakteristische Zugtragfähigkeit in Beton \geq C20/25	R30	$N^0_{RK,c,fi}$ [kN]	-	1,8	3,2	6,1	-	-
	R60	$N^0_{RK,c,fi}$ [kN]						
	R90	$N^0_{RK,c,fi}$ [kN]						
	R120	$N^0_{RK,c,fi}$ [kN]						
Achsabstand	$s_{cr,N}$	[mm]	-	4 h_{ef}			-	-
	s_{min}	[mm]	-	40	50	65	-	-
Randabstand	$c_{cr,N}$	[mm]	-	2 h_{ef}			-	-
	c_{min}	[mm]	Einseitige Brandbeanspruchung: 2 h_{ef} Mehrseitige Brandbeanspruchung: \geq 300					

Sofern andere nationale Regelungen fehlen wird der Teilsicherheitsbeiwert für die Brandbeanspruchung $\gamma_{M,fi} = 1,0$ empfohlen.

Hilti Metallspreizanker HST, HST-R, HST-HCR, HST3, HST3-R

Leistungsfähigkeit

Charakteristische Werte der Zugtragfähigkeit bei Brandbeanspruchung im gerissenen und ungerissenen Beton

Anhang C27

**Tabelle C21: Charakteristische Quertragfähigkeit bei Brandbeanspruchung für Hilti
Metallspreizanker HST, HST-R und HST-HCR im gerissenen und
ungerissenen Beton**

				M8	M10	M12	M16	M20 ¹⁾	M24 ¹⁾
Stahlversagen ohne Hebelarm									
HST									
Charakteristische Quertragfähigkeit	R30	$V_{Rk,s,fi}$	[kN]	0,9	2,5	5,0	9,0	15,0	20,0
	R60	$V_{Rk,s,fi}$	[kN]	0,7	1,5	3,5	6,0	10,0	15,0
	R90	$V_{Rk,s,fi}$	[kN]	0,6	1,0	2,0	3,5	6,0	8,0
	R120	$V_{Rk,s,fi}$	[kN]	0,5	0,7	1,0	2,0	3,5	5,0
HST-R und HST HCR									
Charakteristische Quertragfähigkeit	R30	$V_{Rk,s,fi}$	[kN]	4,9	11,8	17,2	32,0	49,9	71,9
	R60	$V_{Rk,s,fi}$	[kN]	3,6	8,4	12,2	22,8	35,5	51,2
	R90	$V_{Rk,s,fi}$	[kN]	2,4	5,0	7,3	13,5	21,1	30,4
	R120	$V_{Rk,s,fi}$	[kN]	1,7	3,3	4,8	8,9	13,9	20,0
Stahlversagen mit Hebelarm									
HST									
Charakteristisches Biegemoment	R30	$M^0_{Rk,s,fi}$	[Nm]	1,0	3,3	8,1	20,6	40,2	69,5
	R60	$M^0_{Rk,s,fi}$	[Nm]	0,8	2,4	5,7	14,4	28,1	48,6
	R90	$M^0_{Rk,s,fi}$	[Nm]	0,7	1,6	3,2	8,2	16,0	27,7
	R120	$M^0_{Rk,s,fi}$	[Nm]	0,6	1,2	2,0	5,1	9,9	17,2
HST-R und HST HCR									
Charakteristisches Biegemoment	R30	$M^0_{Rk,s,fi}$	[Nm]	5,0	15,2	26,6	67,7	132,3	228,6
	R60	$M^0_{Rk,s,fi}$	[Nm]	3,7	10,8	19,0	48,2	94,1	162,6
	R90	$M^0_{Rk,s,fi}$	[Nm]	2,4	6,4	11,3	28,6	55,9	96,6
	R120	$M^0_{Rk,s,fi}$	[Nm]	1,8	4,2	7,4	18,9	36,8	63,7

¹⁾ Nur HST und HST-R

Sofern andere nationale Regelungen fehlen wird der Teilsicherheitsbeiwert für die Brandbeanspruchung $\gamma_{M,fi} = 1,0$ empfohlen.

Hilti Metallspreizanker HST, HST-R, HST-HCR, HST3, HST3-R

Leistungsfähigkeit

Charakteristische Werte der Quertragfähigkeit bei Brandbeanspruchung im gerissenen und ungerissenen Beton

Anhang C28

Tabelle C21 fortgesetzt

			M8	M10	M12	M16	M20 ¹⁾	M24 ¹⁾
Betonausbruch auf der lastabgewandten Seite								
HST, HST-R und HST-HCR								
Pryout-Faktor	k_8	[-]	2,00	2,00	2,20	2,50	2,50	2,50
Charakteristische Quertragfähigkeit in Beton \geq C20/25	R30	$V_{Rk,cp,fi}^0$ [kN]	5,4	10,0	16,0	27,2	49,4	84,5
	R60	$V_{Rk,cp,fi}^0$ [kN]						
	R90	$V_{Rk,cp,fi}^0$ [kN]						
	R120	$V_{Rk,cp,fi}^0$ [kN]						
Betonkantenbruch								
HST, HST-R und HST-HCR								
Der Ausgangswert der charakteristischen Tragfähigkeit $V_{Rk,c,fi}^0$ im Beton C20/25 bis C50/60 unter Brandbeanspruchung wird ermittelt mit: $V_{Rk,c,fi}^0 = 0,25 \times V_{Rk,c}^0$ (\leq R90) $V_{Rk,c,fi}^0 = 0,20 \times V_{Rk,c}^0$ (R120) $V_{Rk,c}^0$ = Wert der charakteristischen Tragfähigkeit im gerissenen Beton C20/25 bei Normaltemperatur								

¹⁾ Nur HST und HST-R

Sofern andere nationale Regelungen fehlen wird der Teilsicherheitsbeiwert für die Brandbeanspruchung $\gamma_{M,fi} = 1,0$ empfohlen.

Hilti Metallspreizanker HST, HST-R, HST-HCR, HST3, HST3-R

Leistungsfähigkeit

Charakteristische Werte der Quertragfähigkeit bei Brandbeanspruchung im gerissenen und ungerissenen Beton

Anhang C29

**Tabelle C22: Charakteristische Quertragfähigkeit bei Brandbeanspruchung für Hilti
Metallspreizanker HST3 und HST3-R im gerissenen und ungerissenen
Beton**

			M8	M10	M12	M16	M20	M24
Stahlversagen ohne Hebelarm								
HST3								
Effektive Verankerungstiefe	$h_{ef,2}$	[mm]	47	60	70	85	101	125
Charakteristische Quertragfähigkeit	R30	$V_{Rk,s,fi}$ [kN]	0,9	2,4	5,2	9,7	15,2	21,9
	R60	$V_{Rk,s,fi}$ [kN]	0,8	1,8	3,7	6,8	10,6	15,3
	R90	$V_{Rk,s,fi}$ [kN]	0,7	1,2	2,1	3,9	6,0	8,7
	R120	$V_{Rk,s,fi}$ [kN]	0,6	0,9	1,3	2,4	3,8	5,4
HST3-R								
Effektive Verankerungstiefe	$h_{ef,2}$	[mm]	47	60	70	85	101	125
Charakteristische Quertragfähigkeit	R30	$V_{Rk,s,fi}$ [kN]	4,9	11,8	17,1	31,9	49,8	71,8
	R60	$V_{Rk,s,fi}$ [kN]	3,6	8,4	12,2	22,8	35,5	51,2
	R90	$V_{Rk,s,fi}$ [kN]	2,4	5,0	7,3	13,6	21,2	30,6
	R120	$V_{Rk,s,fi}$ [kN]	1,7	3,3	4,8	9,0	14,1	20,3
HST3								
Effektive Verankerungstiefe	$h_{ef,1}$	[mm]	-	40	50	65	-	-
Charakteristische Quertragfähigkeit	R30	$V_{Rk,s,fi}$ [kN]		1,5	2,3	4,4		
	R60	$V_{Rk,s,fi}$ [kN]		1,2	1,7	3,2		
	R90	$V_{Rk,s,fi}$ [kN]		0,9	1,1	2,1		
	R120	$V_{Rk,s,fi}$ [kN]		0,8	0,8	1,5		
HST3-R								
Effektive Verankerungstiefe	$h_{ef,1}$	[mm]	-	40	50	65	-	-
Charakteristische Quertragfähigkeit	R30	$V_{Rk,s,fi}$ [kN]		5,2	9,1	16,9		
	R60	$V_{Rk,s,fi}$ [kN]		3,7	6,8	12,6		
	R90	$V_{Rk,s,fi}$ [kN]		2,5	4,5	8,4		
	R120	$V_{Rk,s,fi}$ [kN]		2,0	3,3	6,2		

Sofern andere nationale Regelungen fehlen wird der Teilsicherheitsbeiwert für die Brandbeanspruchung $\gamma_{M,fi} = 1,0$ empfohlen.

Hilti Metallspreizanker HST, HST-R, HST-HCR, HST3, HST3-R

Leistungsfähigkeit

Charakteristische Werte der Quertragfähigkeit bei Brandbeanspruchung im gerissenen und ungerissenen Beton

Anhang C30

Tabelle C22 fortgesetzt

			M8	M10	M12	M16	M20	M24
Stahlversagen mit Hebelarm								
HST3								
Effektive Verankerungstiefe	$h_{ef,2}$	[mm]	47	60	70	85	101	125
Charakteristisches Biegemoment	R30	$M^0_{Rk,s,fi}$ [Nm]	0,9	3,1	8,1	20,6	40,2	69,5
	R60	$M^0_{Rk,s,fi}$ [Nm]	0,8	2,4	5,7	14,4	28,1	48,6
	R90	$M^0_{Rk,s,fi}$ [Nm]	0,7	1,6	3,2	8,2	16,0	27,7
	R120	$M^0_{Rk,s,fi}$ [Nm]	0,6	1,2	2,0	5,1	10,0	17,2
HST3-R								
Effektive Verankerungstiefe	$h_{ef,2}$	[mm]	47	60	70	85	101	125
Charakteristisches Biegemoment	R30	$M^0_{Rk,s,fi}$ [Nm]	5,0	15,2	26,6	67,6	132,0	228,2
	R60	$M^0_{Rk,s,fi}$ [Nm]	3,7	10,8	19,0	48,2	94,1	162,7
	R90	$M^0_{Rk,s,fi}$ [Nm]	2,4	6,5	11,3	28,8	56,3	97,2
	R120	$M^0_{Rk,s,fi}$ [Nm]	1,8	4,3	7,5	19,1	37,3	64,5
HST3								
Effektive Verankerungstiefe	$h_{ef,1}$	[mm]	-	40	50	65	-	-
Charakteristisches Biegemoment	R30	$M^0_{Rk,s,fi}$ [Nm]	-	2,0	3,6	9,3	-	-
	R60	$M^0_{Rk,s,fi}$ [Nm]	-	1,6	2,7	6,9	-	-
	R90	$M^0_{Rk,s,fi}$ [Nm]	-	1,2	1,8	4,5	-	-
	R120	$M^0_{Rk,s,fi}$ [Nm]	-	1,0	1,3	3,3	-	-
HST3-R								
Effektive Verankerungstiefe	$h_{ef,1}$	[mm]	-	40	50	65	-	-
Charakteristisches Biegemoment	R30	$M^0_{Rk,s,fi}$ [Nm]	-	6,7	14,1	35,9	-	-
	R60	$M^0_{Rk,s,fi}$ [Nm]	-	4,8	10,5	26,8	-	-
	R90	$M^0_{Rk,s,fi}$ [Nm]	-	3,2	7,0	17,7	-	-
	R120	$M^0_{Rk,s,fi}$ [Nm]	-	2,6	5,2	13,2	-	-

Sofern andere nationale Regelungen fehlen wird der Teilsicherheitsbeiwert für die Brandbeanspruchung $\gamma_{M,fi} = 1,0$ empfohlen.

Hilti Metallspreizanker HST, HST-R, HST-HCR, HST3, HST3-R

Leistungsfähigkeit

Charakteristische Werte der Quertragfähigkeit bei Brandbeanspruchung im gerissenen und ungerissenen Beton

Anhang C31

Tabelle C22 fortgesetzt

			M8	M10	M12	M16	M20	M24
Betonausbruch auf der lastabgewandten Seite								
HST3 und HST3-R								
Effektive Verankerungstiefe	$h_{ef,2}$	[mm]	47	60	70	85	101	125
Pryout-Faktor	k_8	[-]	2,62	2,67	2,78	3,41	3,20	2,50
Charakteristische Quertragfähigkeit in Beton \geq C20/25	R30	$V_{RK,cp,fi}^0$ [kN]	7,0	13,0	20,7	40,8	37,0	62,8
	R60	$V_{RK,cp,fi}^0$ [kN]						
	R90	$V_{RK,cp,fi}^0$ [kN]						
	R120	$V_{RK,cp,fi}^0$ [kN]						
HST3 und HST3-R								
Effektive Verankerungstiefe	$h_{ef,1}$	[mm]	-	40	50	65	-	-
Pryout-Faktor	k_8	[-]	-	2,67	2,78	3,41	-	-
Charakteristische Quertragfähigkeit in Beton \geq C20/25	R30	$V_{RK,cp,fi}^0$ [kN]	-	4,7	8,9	20,8	-	-
	R60	$V_{RK,cp,fi}^0$ [kN]						
	R90	$V_{RK,cp,fi}^0$ [kN]						
	R120	$V_{RK,cp,fi}^0$ [kN]						
Betonkantenbruch								
HST3 und HST3-R								
Der Ausgangswert der charakteristischen Tragfähigkeit $V_{RK,c,fi}^0$ im Beton C20/25 bis C50/60 unter Brandbeanspruchung wird ermittelt mit: $V_{RK,c,fi}^0 = 0,25 \times V_{RK,c}^0$ (\leq R90) $V_{RK,c,fi}^0 = 0,20 \times V_{RK,c}^0$ (R120) $V_{RK,c}^0$ = Wert der charakteristischen Tragfähigkeit im gerissenen Beton C20/25 bei Normaltemperatur								

Sofern andere nationale Regelungen fehlen wird der Teilsicherheitsbeiwert für die Brandbeanspruchung $\gamma_{M,fi} = 1,0$ empfohlen.

Hilti Metallspreizanker HST, HST-R, HST-HCR, HST3, HST3-R

Leistungsfähigkeit

Charakteristische Werte der Quertragfähigkeit bei Brandbeanspruchung im gerissenen und ungerissenen Beton

Anhang C32